
# 帝奥微
# 产品手册

江苏帝奥微电子股份有限公司

股票代码 688381

dioo

帝奥微电子

（股票代码 688381）

## 企业简介

**江苏帝奥微电子股份有限公司**（股票简称：帝奥微，股票代码：688381）2010年成立于江苏省南通市，**于2022年上交所科创板上市**。公司聚焦于高性能模拟芯片领域，产品主要分为信号链模拟芯片和电源管理模拟芯片两大系列，截止目前，公司模拟芯片产品已达1600余款，并广泛应用于汽车电子、人形机器人、消费电子、通讯设备、工业以及医疗等领域。

凭借优异的技术实力、产品性能和客户服务能力，公司已与 WPI 集团、文晔集团等行业内资深电子元器件经销商**建立了稳定的合作关系**，已经与众多知名终端客户建立合作，如比亚迪、OPPO、小米、Vivo、高通、谷歌、三星、通力等。

公司成立至今获得**多项政府资质和行业奖项**，包括国家高新技术企业、国家级专精特新“小巨人”企业、江苏省民营科技企业、江苏省工程技术研究中心、2024中国IC设计TOP10模拟芯片公司、2024年度卓越影响力IC设计企业奖、2024年度硬核汽车芯片奖、2024年度最佳技术实践应用奖DIA57100、2024年度全球电子成就奖-年度杰出创新企业、2024年度全球电子奖-创新产品奖-电源管理DIA82901、2024年度上市公司最佳治理建设奖等。

# CONTENTS

# 目录

## 信号链产品线

### 模拟开关



### 通用运放



### 电平转换



### 温度传感器



### 信号中继器



### 霍尔传感器

汽车电子 Automotive Electronics

消费电子 Consumer Electronics

工业领域 Industrial Field

智能家居 Smart Home

医疗器械 Medical Equipment

通讯设备 Communication Equipment

# 电源产品线

## 直流电源



## 充电芯片



## LED驱动



## 负载开关



## 高边开关



## 马达驱动



## 其他

# 移动电话 Mobile Phone

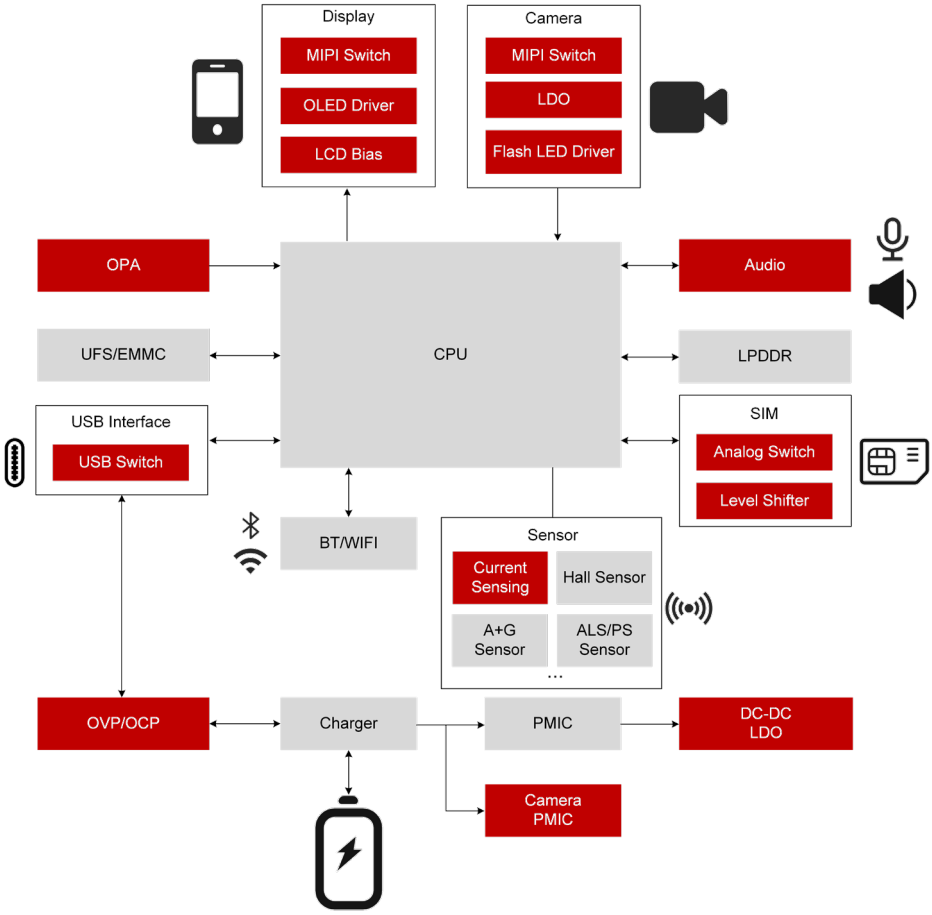


5G 移动电话是两种或两种以上媒体之间进行人机交互，信息交换和通信的媒介。我们的解决方案包括高速 USB 开关，Buck，LDO，Boost，充电器 IC，OVP，负载开关，OCP，闪光灯驱动器，LED 背光驱动器，电流传感器，音频 PA，模拟开关，MIPI 开关，LCD 偏置驱动器等

| 品类 | 产品 | 主要参数 |
|---|---|---|
| 模拟开关 | DIO4480G/2/3/5 | Type-C 模拟耳机音频开关 |
| | DIO5000 | 带 OVP 保护的 USB2.0 开关 |
| | DIO32020 | USB2.0/ 音频模拟开关 |
| | DIO1520 | 双 SPDT (0.8Ω) 模拟 开关 |
| | DIO1521 | 带 OVP 的 MIC/AGND 切换开关 |
| | DIO1634 | 6GHz MIPI 开关 |
| | DIO1568 | SIM 卡模拟开关 |
| | DIO1327/DZ106 | 高压模拟开关 |
| 电平转换 | DIO74559/7 | SIM 卡电平转换 |
| | DIO7416 | 2 通道电平转换 |
| | DIO7S104/DIO7B104 | 4 通道电平转换 |
| USB3.0信号中继器&运放 | DIO36812 | USB3.0 信号中继器 |
| | DIO32051A | 0.5MHz、24μA RRIO 运算放大器 |
| | DIO20891 | 超低功耗比较器 |
| 线性稳压器 | DIO8018/DIO8016/5 | 7/4 通道 LDO PMIC |
| | DIO7961/6 | 高 PSRR LDO |
| | DIO7939/7 | 带偏置轨的 1.5/0.6A LDO |
| | DIO7911/0 | 0.6/0.3A 通用 LDO |
| 降压转换器 | DIO6155/DIO60121 | 5V/2A 降压转换器 |
| | DIO62866 | 带 I2C 接口的 6A 降压转换器 |
| 负载开关 | DIO7495 | 过压过流负载开关 |
| | DIO7290 | 2A 负载开关 |
| | DIO1266 | 过压负载开关 |
| LCD屏幕偏压&背光&OLED屏幕驱动 | DIO56380 | 220mA LCD 偏压 |
| | DIO5661 | 单路 LCD 背光 |
| | DIO5553/DIO53010 | OLED 屏幕驱动 |
| 闪光灯驱动 | DIO5644/DIO56401 | 1.5A 2/1 通道闪光灯驱动 |

# POS 机 POS machine

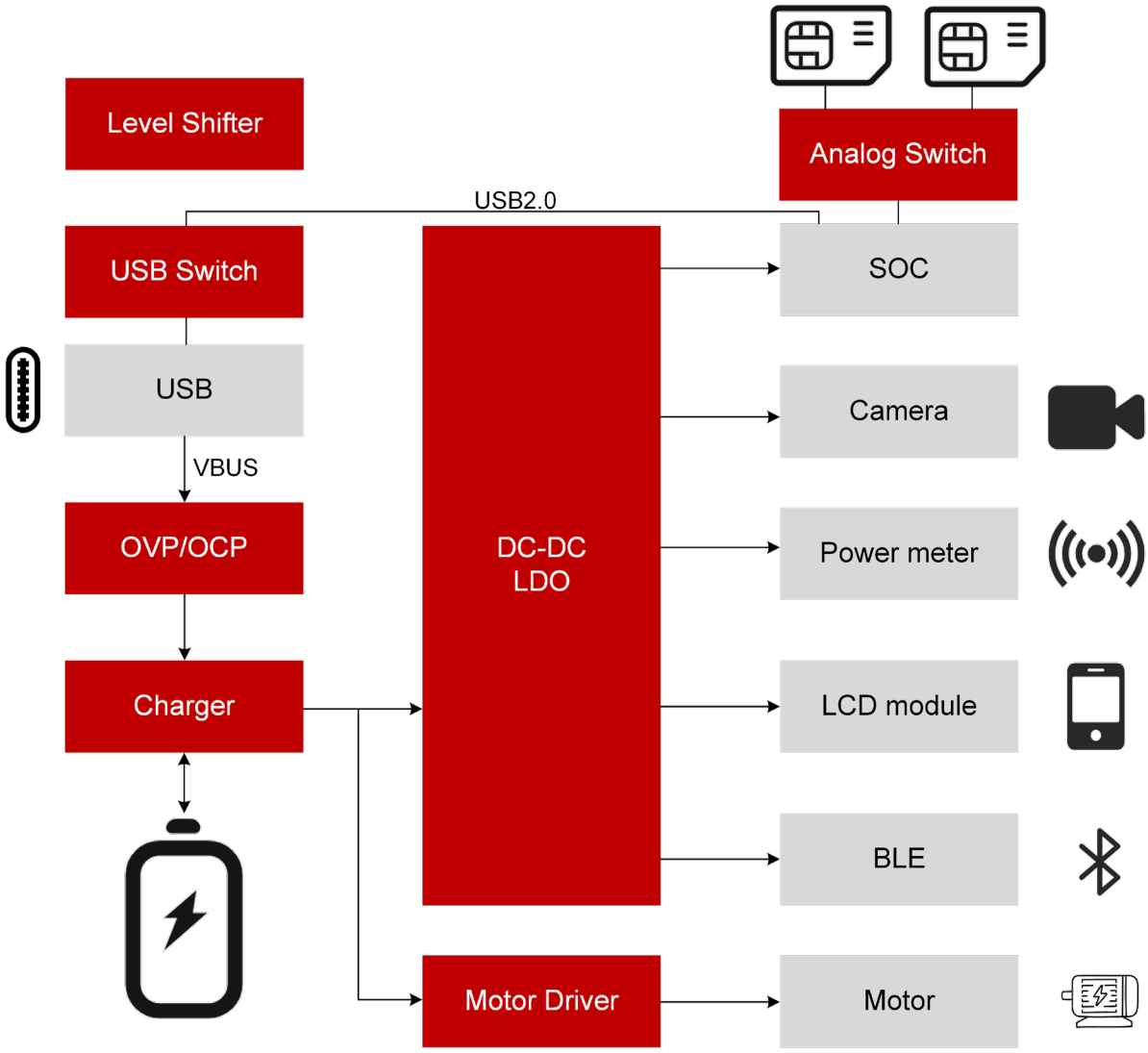


POS 机（销售点终端机）是一种用于商家完成交易的设备，能够接受不同类型的支付方式，包括现金、信用卡、借记卡、移动支付等。POS 机通过连接网络或电话线路，处理并记录交易信息，方便商家管理销售数据、库存和财务。同时，它还可以支持打印小票、查询账单等功能，广泛应用于零售、餐饮、超市等行业。

我们的解决方案包括降压转换器、升压转换器、线性稳压器、模拟开关、负载开关、马达驱动、开关充电和电平转换等。

| 品类 | 产品 | 主要参数 |
|---|---|---|
| 模拟开关 | DIO4480G/2 | Type-C 模拟耳机音频开关 |
| | DIO32020 | USB2.0/ 音频模拟开关 |
| | DIO1521 | 带 OVP 的 MIC/AGND 切换开关 |
| | DIO32321 | USB2.0 双刀双掷开关 |
| | DIO1568 | SIM 卡模拟开关 |
| 电平转换 | DIO7416 | 2 通道电平转换 |
| | DIO7S/B104 | 4 通道电平转换 |
| 线性稳压器 | DIO7708 | 30V 300mA 低功耗 LDO |
| | DIO7911/0 | 5V 0.6/0.3A 通用 LDO |
| 降压转换器 | DIG69300 | 24V/3A 降压转换器 |
| | DIU6921 | 30V/2A 降压转换器 |
| 升压转换器 | DIO6199B | 低功耗升压转换器 |
| 马达驱动 | DIO5833 | 双 H 桥电机驱动器 |
| 开关充电 | DIO6833E | 2A 双节锂离子电池充电器 |
| 负载开关 | DIO70040 | 固定输出的过流保护负载开关 |
| | DIO75530 | 精密可调限流负载开关 |
| | DIO1266 | 过压保护负载开关 |
| | DIO7495 | 过压过流保护负载开关 |

# 服务器 Server

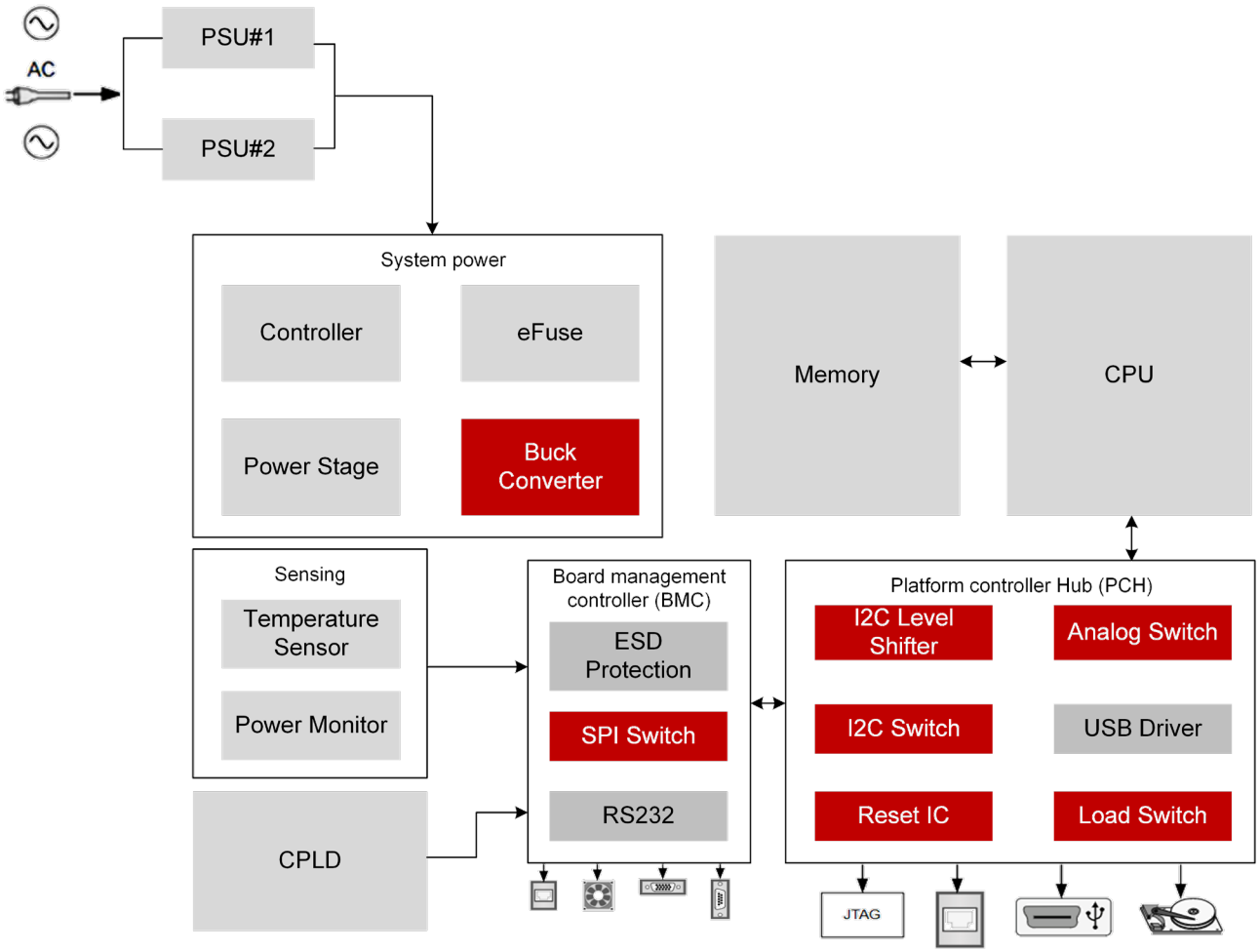


服务器是一种专门设计用于提供服务、处理请求和管理数据的计算机系统。它通常具有更强的处理能力、更大的存储空间以及更高的稳定性，能够支持多个用户或设备同时访问。服务器广泛应用于企业 IT 基础设施、数据中心、云计算平台等场景，承担着网站托管、数据存储、文件共享等关键任务。我们的解决方案包括降压转换器、线性稳压器、模拟开关、负载开关、USB3.0 中继器、温度传感器和复位芯片等。

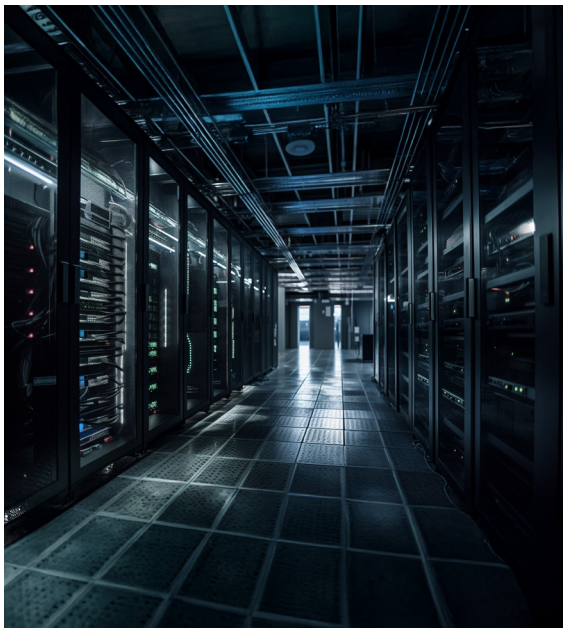

| 品类 | 产品 | 主要参数 |
|---|---|---|
| 模拟开关 | DI3PCIE350 | 11GHz PCIE3.0 开关 |
| | DIO3340 | 11GHz USB3.1 开关 |
| | DIO74548/6 | 带复位功能的 8/4 通道 I2C 开关 |
| | DIO74544 | 带中断功能的 4 通道 I2C 开关 |
| | DIO5000 | 1.5GHz 双刀双掷开关 |
| | DIO1467 | 双通道双刀双掷模拟开关 |
| | DIO1159B/DIO3157E | 单刀双掷模拟开关 |
| 电平转换 | DIO7S102/4/8 | 2/4/8 通道电平转换 |
| | DIO7B102/4/8 | 2/4/8 通道电平转换 |
| USB3.0中继器 | DIO36812 | USB3.0 中继器 |
| 温度传感器 | DIO1412/3/4 | 多通道温度传感器 |
| 线性稳压器 | DIO7939 | 5V 1.5A 大电流 LDO |
| 降压转换器 | DIO6988/6 | 24V 8A/6A 降压转换器 |
| | DIU6931 | 30V 2A 降压转换器 |
| 复位芯片 | DIO706 | 带看门狗功能的复位芯片 |
| 负载开关 | DIO70040 | 固定输出的过流保护负载开关 |
| | DIO75530 | 精密可调限流负载开关 |
| | DIO7495 | 过压过流保护负载开关 |

# 光模块 Optical module

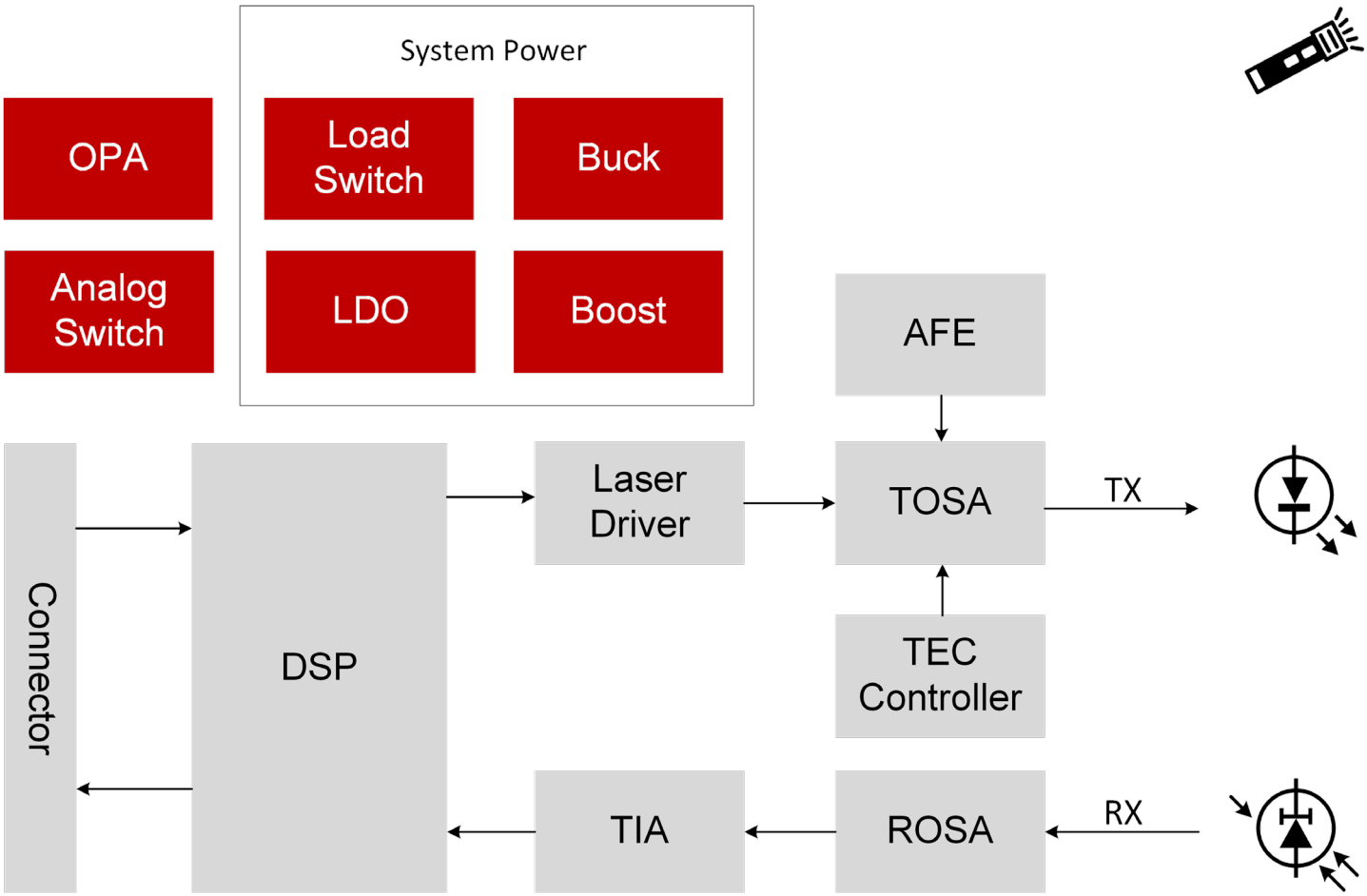


光模块是一种用于高速数据传输的电子设备，广泛应用于通信、数据中心和网络设备中。它通过光纤传输数据，相比传统的电缆传输具有更高的带宽和更长的传输距离。光模块通常包含激光器、光电探测器以及相应的电路，用于实现光电信号的转换。根据不同的应用需求，光模块有不同的传输速率和传输距离规格，如 SFP、QSFP 等标准。

| 品类 | 产品 | 主要参数 |
|---|---|---|
| 降压转换器 | DIO6145P | 5V 6A 降压转换器 |
| | DIO61824/5/6/7x | 5V 1/2/3/4A 降压转换器 |
| | DIO60010 | 5V 1A 降压转换器 |
| | DIO60121 | 5V 2A 降压转换器 |
| 电源模块 | DPM6101/3 | 5V 1/3A 降压电源模块 |
| 升压转换器 | DIO6099 | 5V 1A 升压转换器 |
| 线性稳压器 | DIO7960 | 5V 250mA 高 PSRR LDO |
| 模拟开关 | DIO1159C | 单刀单掷模拟开关 |
| | DIO32321 | USB2.0 双刀双掷开关 |
| 负载开关 | DIO7974 | 3A 负载开关 |
| 电平转换 | DIO7416 | I2C 电平转换器 |

# 电子烟 Electronic cigarette

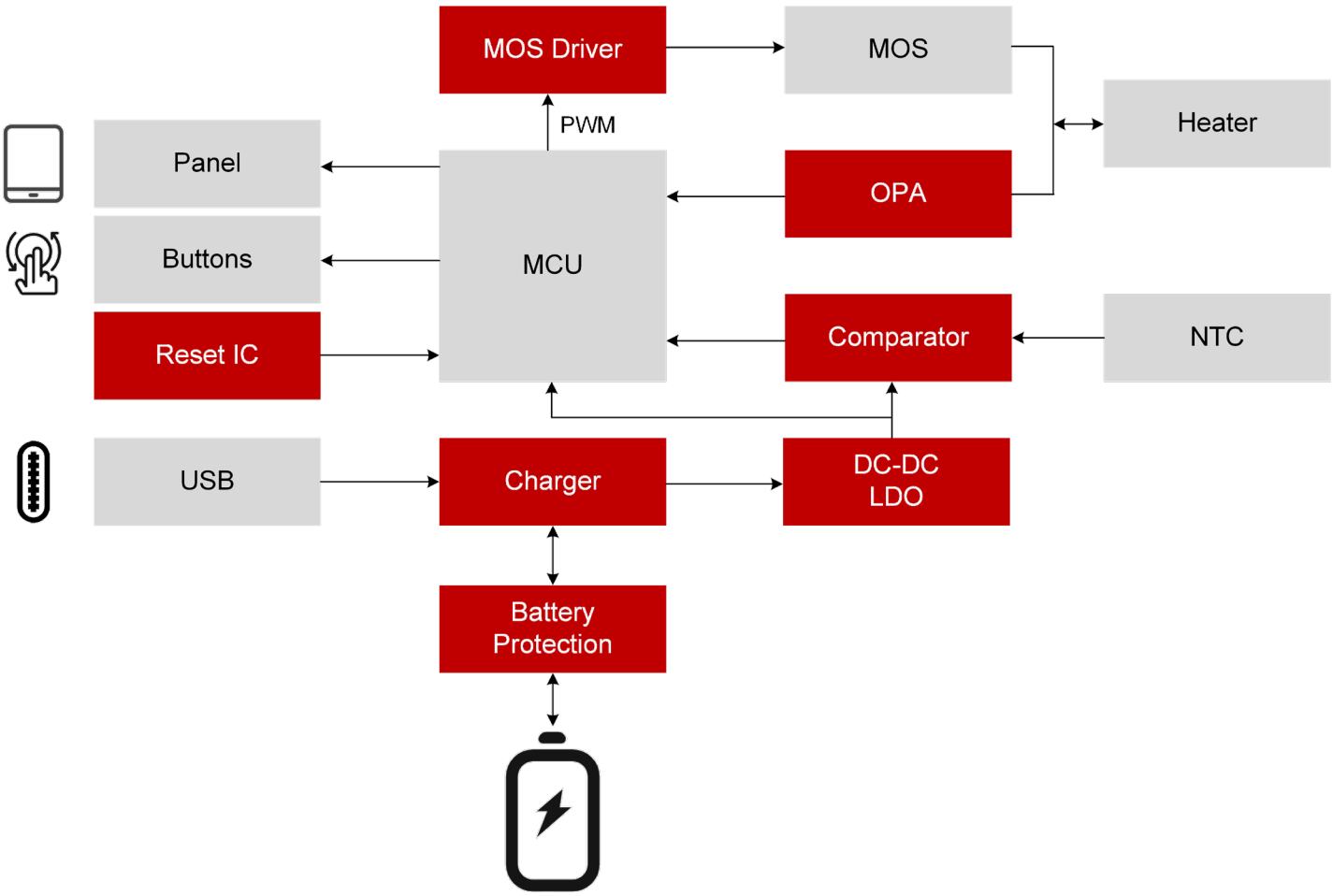


电子烟是以可有充电锂聚合物电池供电驱动雾化器，加热雾化油舱中的电子液体（俗称烟油、电子果汁）

我们的解决方案包括低压差线性稳压器，直流开关升压转换器，负载开关，高精度零温漂电流传感器，模拟开关，MOS 驱动器，锂电池充电 IC 等。

| 品类 | 产品 | 主要参数 |
|---|---|---|
| 电流检测 | DIO2216 | 超小封装电流检测 |
| | DIO2488 | 电流检测 |
| 比较器 | DIO20874B | 开漏输出比较器 |
| 复位芯片 | DIO6821 | 双按键输入复位 IC, 开漏输出 |
| 降压转换器 | DIO6145 | 5V 6A 降压转换器 |
| 升压转换器 | DIO6346 | 5V 1A 升压转换器 |
| | DIO6328E | 25V 2.3A 降压转换器 |
| 线性稳压器 | DIO7982 | 5V 150mA 低功耗 LDO |
| OLED驱动 | DIO5553 | 三路输出正负电压 AMOLED 驱动 |
| 锂电保护 | DIO7110 | 超小封装锂电池过充 / 过放保护 IC |

# TV Television

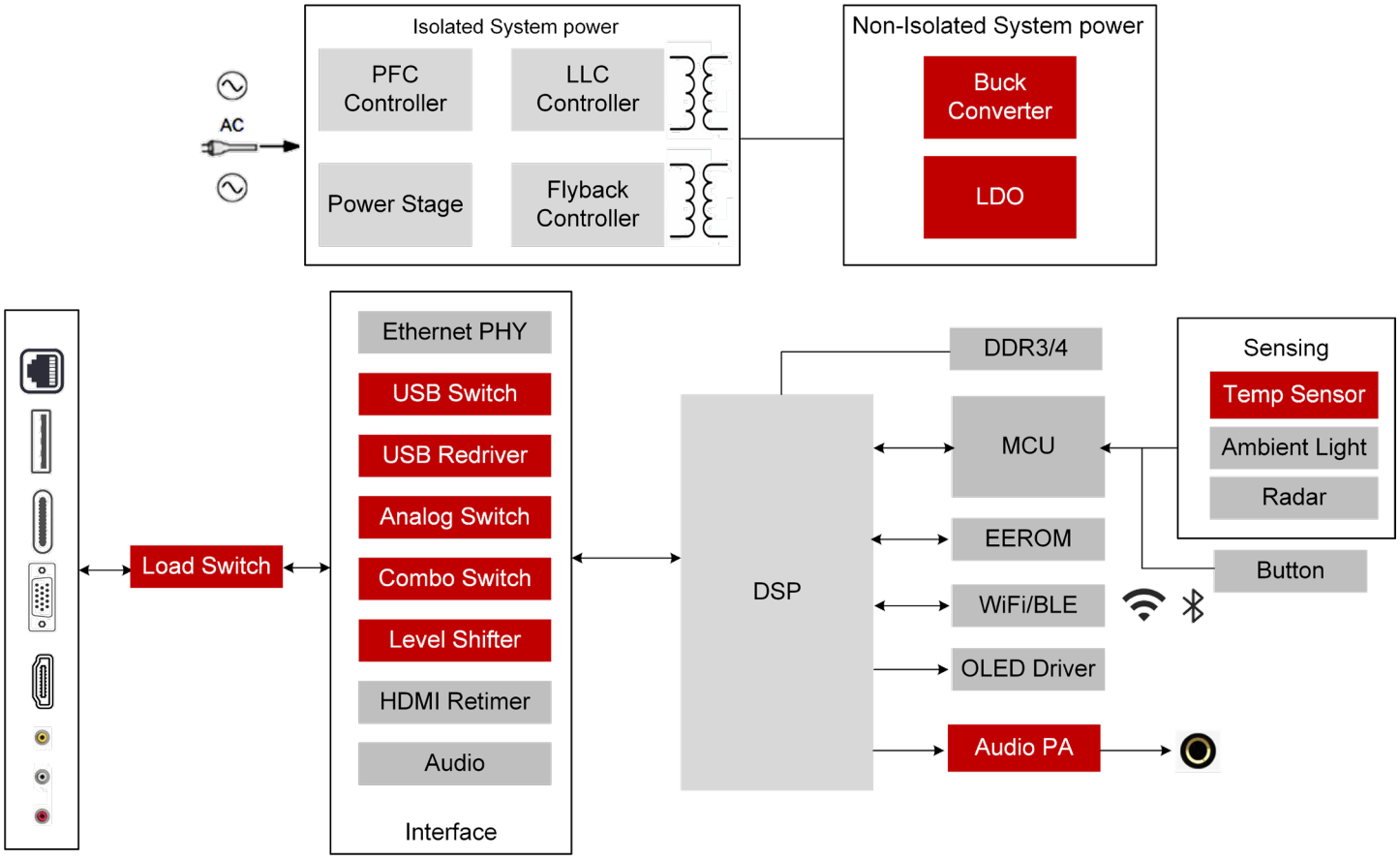


电视机是指根据人眼的视觉暂留特性和视觉心理，利用电子技术传送活动的图像画面和音频信号的设备，即电视接收机。也是重要的广播和视频通信工具。电视机的基本系统由摄像、传输和显像 3 部分组成。

我们的解决方案包括降压转换器、低压差线性稳压器、模拟开关、负载开关、USB3.0 中继器和电平转换等。

| 品类 | 产品 | 主要参数 |
|---|---|---|
| 降压转换器 | DIO6986 | 28V/6A 降压转换器 |
| | DIO6988 | 28V/8A 降压转换器 |
| | DIU6921 | 30V/2A 降压转换器 |
| | DIG69300 | 28V/3A 降压转换器 |
| | DIO60120 | 5V/2A 降压转换器 |
| | DIO60121 | 5V/2A 降压转换器 |
| | DIO61300 | 5V/3A 降压转换器 |
| | DIO61302 | 5V/3A 降压转换器 |
| 模拟开关 | DIO32321 | USB2.0 模拟开关 |
| | DIO3340 | USB3.1 模拟开关 |
| | DIO3352 | USB3.1+USB2.0 组合模拟开关 |
| USB3.0信号中继器 | DIO36812 | USB3.0 信号中继器 |
| 负载开关 | DIO70040 | 3A 固定限流开关 |
| | DIO75530 | 2A 可调限流开关 |
| 电平转换 | DIO7S10x | 电平转换 |
| 温度传感器 | DIO1411 | 温度传感器 |

# 笔电 Notebook computer

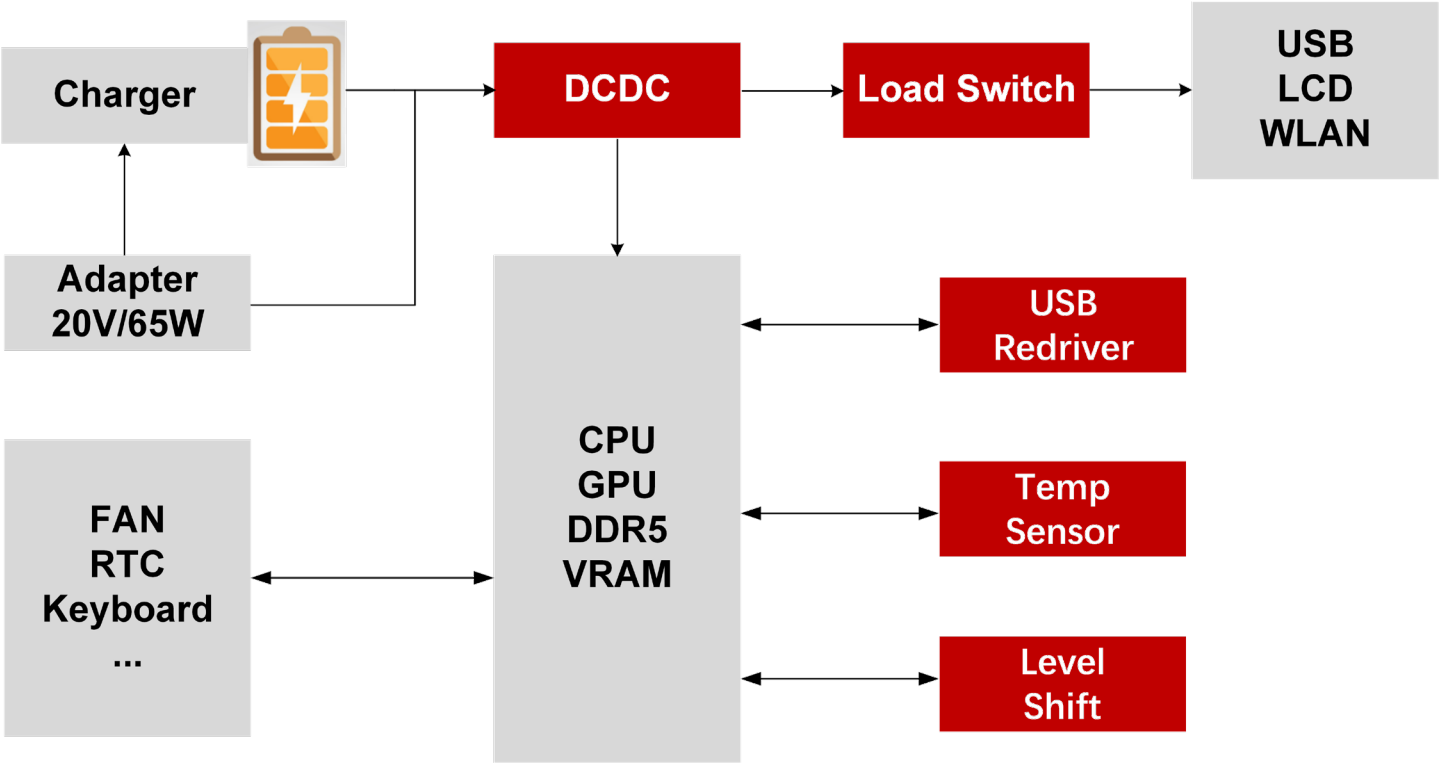


笔记本电脑，又称便携计算机、手提电脑，简称笔记本、笔电，是自带屏幕和字母数字键盘的小型便携式个人电脑（PC），重量通常在 1 至 3 千克左右，屏幕尺寸大多在 11 至 17 英寸之间。随着计算机技术的发展，笔记本电脑的体积越来越小，重量越来越轻，而性能却越发强大。为了要缩小体积，笔记型电脑通常需要有液晶显示器（液晶屏），部分机种还有触屏。除了键盘以外，笔记本电脑还装有触摸板或触控点作为定点设备，也可以用 USB 或 Thunderbolt 连接其它外部设备。

我们的解决方案包括降压转换器、低压差线性稳压器、负载开关、温度传感器、USB3.0 中继器和电平转换等。

| 品类 | 产品 | 主要参数 |
|---|---|---|
| 降压转换器 | DIO6155/7 | 5V,2A/4A 降压转换器 |
| | DIO6182x | 5V, 2A/3A/4A 降压转换器 |
| | DIO6988/6 | 28V, 8A/6A 降压转换器 |
| | DIO62820 | 5V/0.6A 降压转换器 |
| 线性稳压器 | DIO7982 | 150mA 低静态电流 (0.5uA) 线性稳压器 |
| 负载开关 | DIO70040 | 3A 固定限流开关 |
| | DIO7610 | 6A 负载开关 |
| | DIO7970 | 3.6V, 4A 负载开关 |
| | DIO7971 | 3.6 V, 3 A，带 PG 引脚负载开关 |
| 电平转换 | DIO7416 | 带 I2C 加速的电平转换 |
| USB3.0信号中继器 | DIO36812 | USB 3.2 Gen1 信号中继器 |
| 温度传感器 | DIO1413 | 高精度数字温度传感器 |

# IP 摄像头 IP camera

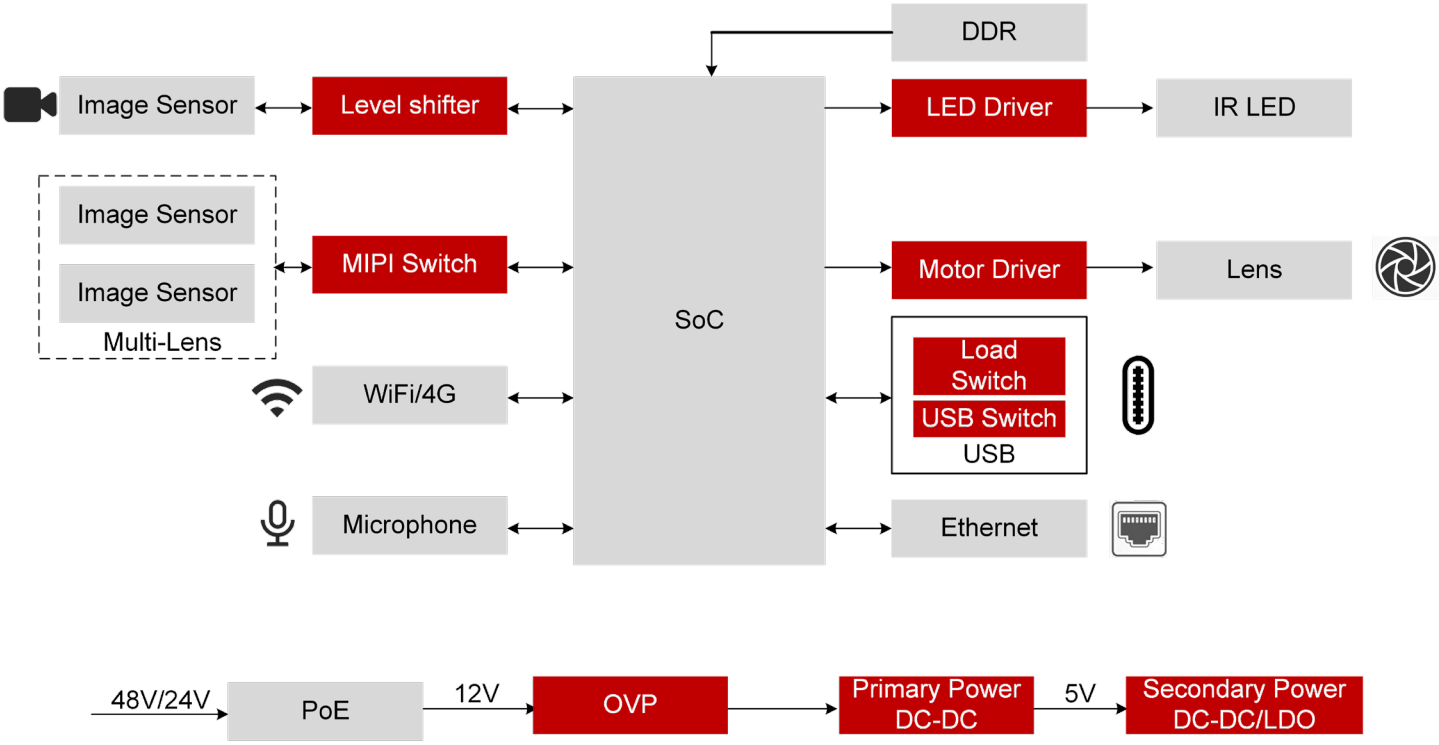


网络摄像机是一种结合传统摄像机与网络技术所产生的新一代摄像机，它可以将视频影像通过网络传至地球另一端，且远端的浏览者不需用任何专业软件，只要标准的网络浏览器（如“Microsoft IE 或 Netscape）即可监视其视频影像。网络摄像机一般由电源、镜头、图像传感器、声音传感器、信号处理器、A/D 转换器、编码芯片、主控芯片、网络及控制接口等部分组成。

我们的解决方案包括降压转换器、低压差线性稳压器、模拟开关、负载开关、LED 驱动、电机驱动、电平转换等。

我们的解决方案包括降压转换器、升压转换器、线性稳压器、模拟开关、负载开关、电源模块和电平转换等。

| 品类 | 产品 | 主要参数 |
|---|---|---|
| 降压转换器 | DIU6921 | 30V/2A 降压转换器 |
| | DIO6145 | 5V/6A 降压转换器 |
| | DIO60010 | 5V/1A 降压转换器 |
| | DIO60011 | 5V/1A 降压转换器 |
| LED驱动 | DIO5718P | 28V/2A LED 驱动 |
| | DIO5728 | 双通道 1.5A LED 驱动 |
| 线性稳压器 | DIO7708 | 30V/300mA 线性稳压器 |
| | DIO7709 | 30V/300mA 线性稳压器 |
| | DIO7910 | 5V, 300/600mA 线性稳压器 |
| | DIO7911 | 5V, 300/600mA 线性稳压器 |
| 运放 | DIO358x | 60μA, 1.4MHz RRIO 运算放大器 |
| | DIO20221 | 190μA, 3MHz RRIO 运算放大器 |
| 负载开关 | DIO70040 | 3A 固定限流开关 |
| | DIO75530 | 2A 可调限流开关 |
| 电机驱动 | DIO57100 | 12A H 桥电机驱动器 |
| | DIO5833 | 1A 双路 H 桥电机驱动器 |

# SSD SSD

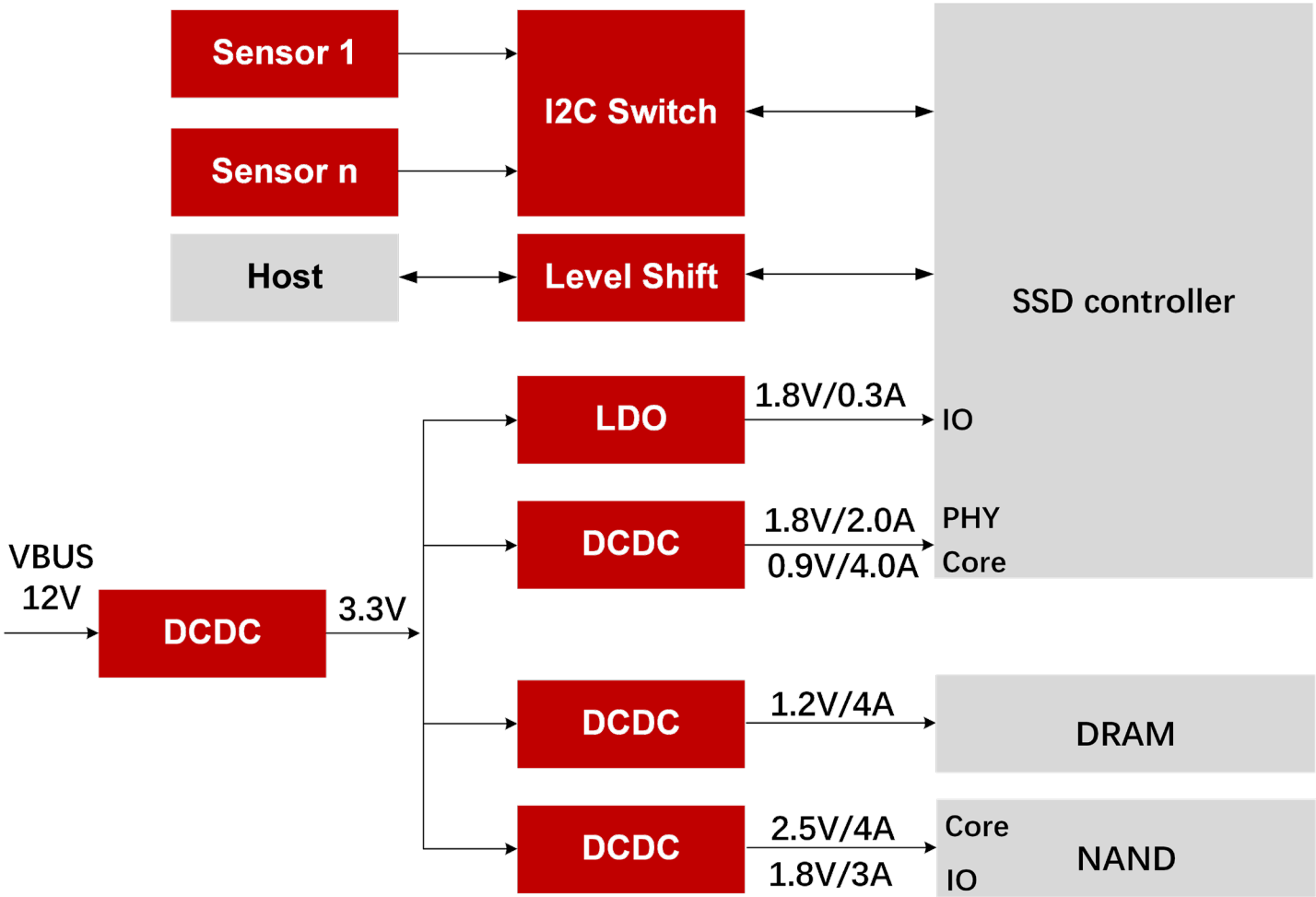


固态硬盘（Solid State Disk 或 Solid State Drive，简称 SSD），又称固态驱动器，是用固态电子存储芯片阵列制成的硬盘。SSD 由于传输速度比传统的固态硬盘快，所以多用于笔记本电脑和服务器等产品应用。

我们的解决方案包括降压转换器，低压差线性稳压器，I2C 开关，电平转换，温度传感器等。

| 品类 | 产品 | 主要参数 |
|---|---|---|
| 降压转换器 | DIO6988 | 28V/8A 降压转换器 |
| | DIO6182x | 5V 2/3/4A 降压转换器 |
| | DIO62864 | 5V/4A with I2C |
| | DIO60120 | 5V/2A 降压转换器 |
| | DIO60121 | 5V/2A 降压转换器 |
| | DIO6145 | 5V/6A 降压转换器 |
| 线性稳压器 | DIO7910 | 5V 300mA 线性稳压器 |
| | DIO7939 | 5V 1500mA 线性稳压器 |
| 电平转换 | DIO7S10x | 电平转换 |
| | DIO74548 | 8 channel I2C 模拟开关 |
| 温度传感器 | DIO1408 | 高精度数字温度传感器 |

# 扫地机器人 Sweeper

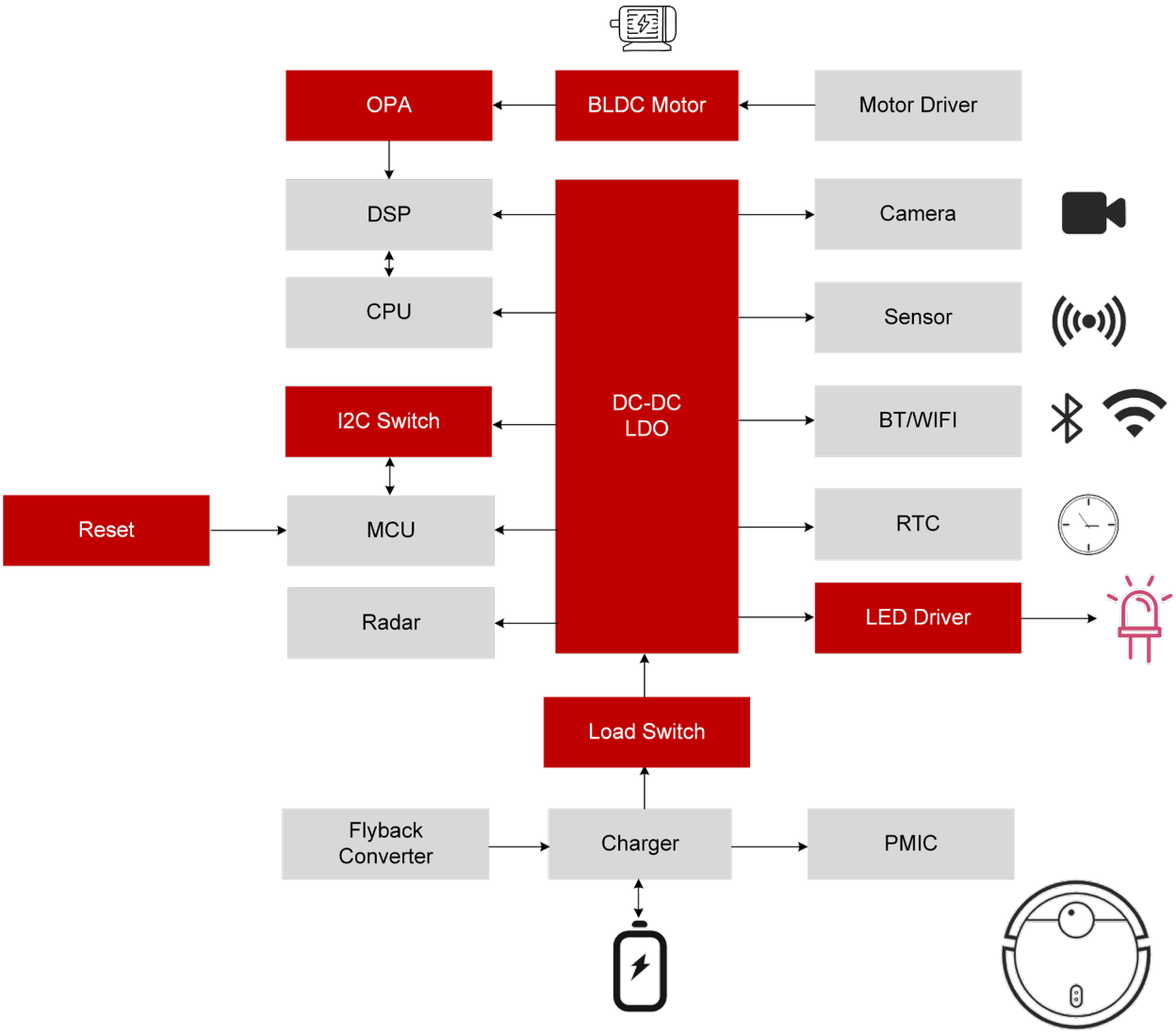


扫地机器人，是智能家用电器的一种，使用 SLAM 建模技术，自动在房间内完成地板清理工作，可以很好的为家庭减轻家务。一般采用刷扫和真空方式，将地面杂物先吸纳进入自身的垃圾收纳盒，从而完成地面清理的功能。

我们的解决方案包括降压转换器、低功耗低压差线性稳压器、电机驱动、电流检测、运算放大器、模拟开关、负载开关等。

| 品类 | 产品 | 主要参数 |
|---|---|---|
| 降压转换器 | DIU6921 | 30V/2A 降压转换器 |
| | DIO6145 | 5V/6A 降压转换器 |
| | DIO60010 | 5V/1A 降压转换器 |
| | DIO60011 | 5V/1A 降压转换器 |
| LED驱动 | DIO5718P | 28V/2A LED 驱动 |
| | DIO5728 | 双通道 1.5A LED 驱动 |
| 线性稳压器 | DIO7708 | 30V/300mA 线性稳压器 |
| | DIO7709 | 30V/300mA 线性稳压器 |
| | DIO7910 | 5V, 300/600mA 线性稳压器 |
| | DIO7911 | 5V, 300/600mA 线性稳压器 |
| 运放 | DIO358x | 60μA, 1.4MHz RRIO 运算放大器 |
| | DIO20221 | 190μA, 3MHz RRIO 运算放大器 |
| 负载开关 | DIO70040 | 3A 固定限流开关 |
| | DIO75530 | 2A 可调限流开关 |
| 电机驱动 | DIO57100 | 12A H 桥电机驱动器 |
| | DIO5833 | 1A 双路 H 桥电机驱动器 |


模拟开关主要用于连接或断开电子设备中的信号。模拟开关具有功耗低,速度快,无机械接触,体积小,使用寿命长等优点。在自动控制系统和计算机中得到了广泛的应用。模拟开关的主要参数有开关速度,寄生电容,驱动容量,封装尺寸等

| 品类 | 型号 | 输入电压 (V) | 配置 | 通道数量 | 通道类型 | 导通内阻（典型值）(Ohms) | 导通电容（典型值）(pF) | -3dB 带宽 (MHz) | 封装 |
|---|---|---|---|---|---|---|---|---|---|
| USB2.0开关 | DIO3476 | 1.65-5.5 | DP4T | 2 | USB<br>UART<br>Audio | 0.8 | 20 | 480 | QFN-18 |
| | DIO3203 | 2.7-5.5 | DP3T | 2 | Audio<br>USB | 1.6<br>3.5 | 6.8 | 720 | TQFN-16<br>DQFN-12 |
| | DIO3303 | 2.7-4.4 | DP3T | 2 | USB | 3.5 | 6.8 | 720 | DQFN-12 |
| | DIO4480G | 2.7-5.5 | SPDT<br>DPDT | 5 | Audio<br>USB | 1.2<br>4.4 | 8 | 1000<br>1000 | WLCSP-25 |
| | DIO4481/B | 2.7-5.5 | SPDT<br>DPDT | 5 | Audio<br>USB | 1.2<br>4.6 | 8 | 830<br>970 | WLCSP-25 |
| | DIO4482/B | 2.7-5.5 | SPDT<br>DPDT | 5 | Audio<br>USB | 1.0<br>4.3 | 8 | 830<br>970 | WLCSP-25 |
| | DIO4483/B | 2.55-5.5 | SPDT<br>DP3T | 6 | Audio<br>USB<br>UART | 1.2<br>4.6<br>10 | 8 | 800<br>950<br>800 | WLCSP-25 |
| | DIO4485/B | 2.7-5.5 | SPDT<br>DP3T | 6 | Audio<br>USB<br>UART | 1.2<br>4.6<br>10 | 8 | 940<br>1050<br>800 | WLCSP-25 |
| | DIO3000 | 2.3-5.5 | DPDT | 2 | USB | 4.6<br>5.3 | 1.2<br>0.6 | 5800 | QFN-10 |
| | DIO3001 | 2.3-5.5 | DPDT | 2 | USB | 5.5 | 5 | 1800 | QFN-10 |
| | DIO32020/B | 2.7-5.5 | DPDT | 2 | Audio<br>USB | 0.8<br>3.8 | 7 | 1100 | DQFN-10<br>QFN-10<br>MSOP-10 |
| | DIO3480A | 2.3-5.5 | DPDT | 2 | USB | 5.5 | 4 | 1200 | WLCSP-24 |

| 品类 | 型号 | 输入电压 (V) | 配置 | 通道数量 | 通道类型 | 导通内阻（典型值）(Ohms) | 导通电容（典型值）(pF) | -3dB 带宽 (MHz) | 封装 |
|---|---|---|---|---|---|---|---|---|---|
| USB2.0开关 | DIO3402 | 2.3-5.5 | DPDT | 2 | USB | 5.2 | 4.3 | 1500 | WLCSP-12 |
| | DIO5000 | 2.3-5.5 | DPDT | 2 | USB | 5.5 | 4.5 | 1500 | QFN-10<br>DQFN-10 |
| | DIO5008 | 2.3-5.5 | DPDT | 2 | USB | 5.5 | 4.5 | 1500 | QFN-10<br>DQFN-10 |
| | DIO32221 | 2.7-5.5 | DPDT | 2 | USB | 5 | 5.5 | 2000 | MSOP-10<br>QFN-10 |
| | DIO32321 | 2.7-5.5 | DPDT | 2 | USB | 5 | 5.5 | 2000 | MSOP-10<br>DQFN-10<br>DFN-8 |
| | DIO32323 | 1.62-5.5 | DPDT | 2 | USB | 5 | 5.5 | 2000 | MSOP-10<br>QFN-10 |
| | DIO32210 | 2.7-5.5 | DPST | 2 | USB | 6 | 3 | >2000 | QFN-8 |
| USB3.1/3.0开关 | DIO3350 | 1.5-5.0 | QPDT | 4 | USB | 6 | 0.45 | 11000 | QFN-16<br>QFN-18<br>QFN-20 |
| | DIO3343 | 1.5-5.0 | QPDT | 4 | USB | 6 | 0.45 | 11000 | QFN-16 |
| | DIO3340/B | 1.5-5.0 | QPDT | 4 | USB | 6 | 0.45 | 11000 | QFN-18 |
| | DIO33412 | 1.5-5.0 | QPDT(4X) | 4 | USB | 6 | 0.45 | 5000 | QFN-36 |
| USB2.0和USB3.1集成开关 | DIO3352 | 2.3-5.5V | QPDT<br>TPDT | 4<br>3 | USB | 6<br>5.5 | 0.45<br>3 | 11000<br>1800 | QFN-32 |
| | DIO33512 | 2.7-5.5V | QPDT<br>DPDT | 4<br>2 | USB | 6<br>6 | 0.45<br>3 | 11000<br>2000 | QFN-32 |
| PCIE高速开关 | DI3PCIE350 | 1.5-5.0 | QPDT | 4 | USB | 6 | 0.45 | 11000 | QFN-18<br>QFN-20 |
| 高压模拟开关 | DZ106 | 1.1-5.5V | DPST | 2 | Data/Audio | 0.13 | 25 | 340 | WLCSP-6 |
| | DIO1327 | 2.3-5.5V | SPST | 2 | Data/Audio | 0.1 | 35 | 200MHz | WLCSP-12 |
| 通用模拟开关 | DIO1005 | 1.8-4.3 | SPDT | 2 | Data | 0.75 | 106 | 75 | DFN-10<br>MSOP-10 |
| | DIO1268 | 1.6-4.2 | SPDT | 2 | Data | 0.75 | 106 | 75 | DQFN-10<br>QFN-10 |
| | DIO1523 | 1.8-4.2 | SPDT | 2 | Data | 0.75 | 106 | 75 | DQFN-10 |
| | DIO3166 | 1.65-5.5 | SPST | 1 | Data | 1 | 49 | 100 | SC70-5<br>SOT23-5 |
| | DIO1159B | 1.65-5.5 | SPDT | 1 | Data | 1 | 49 | 100 | SOT23-6<br>SC70-6<br>DFN-6 |
| | DIO1159C | 1.65-5.5 | SPST | 1 | Data | 1 | 49 | 100 | DFN-6 |
| | DIO1159E | 1.65-5.5 | SPDT | 1 | Data | 1 | 49 | 100 | DFN-6 |
| | DIO1169 | 2.3-5.5 | SPST | 1 | Data | 5.5 | 5 | 1800 | DFN-6 |
| | DIO3011 | 2.3-5.5 | SPDT | 1 | Data | 5.5 | 5 | 1800 | DFN-6 |

| 品类 | 型号 | 输入电压 (V) | 配置 | 通道数量 | 通道类型 | 导通内阻（典型值）(Ohms) | 导通电容（典型值）(pF) | -3dB 带宽 (MHz) | 封装 |
|---|---|---|---|---|---|---|---|---|---|
| 通用模拟开关 | DIO1510 | 1.8-5.5 | SPDT | 1 | Data/Audio | 0.4 | - | 140 | SC70-6 |
| | DIO1467 | 1.65-4.5 | DPDT(2X) | 4 | Data/Audio | 2.7 | 30 | 180 | DQFN-16<br>TQFN-16<br>QFN-16 |
| | DIO1269 | 2.7-5.25 | SPDT | 2 | Data/Audio | 1 | 120 | 180 | DQFN-10 |
| | DIO1713 | 1.8-5.5 | SPST | 4 | Data<br>Audio | 2.5 | 22 | 200 | SOP-16<br>TSSOP-16 |
| | DIO1717 | 2.5-5.5 | SPDT | 2 | Data | 2.8 | 24 | 300 | DQFN-10<br>MSOP-10 |
| | DIO3712 | 1.8-5.5 | SPDT | 2 | Data | 4.5 | 10 | 300 | DQFN-10<br>MSOP-10 |
| | DIO3713 | 1.8-5.5 | SPDT | 2 | Data | 4.5 | 10 | 300 | DQFN-10 |
| | DIO3714 | 1.8-5.5 | SPST | 4 | Data | 4.5 | 10 | 200 | SOP14<br>TSSOP-14 |
| | DIO1520 | 1.65-5.5 | SPDT | 2 | Data/Audio | 0.7 | - | 300 | DQFN-10 |
| | DIO1521 | 2.3-5.5 | - | 2 | Data | 0.85<br>0.65 | 18 | 180 | QFN-10 |
| | DIO1520B | 1.65-5.5 | SPDT | 1 | Data/Audio | 0.7 | - | 300 | DQFN-10 |
| | DIO1166 | 1.65-5.5 | SPST | 1 | Data | 10 | 16 | 350 | SC70-5 |
| | DIO3157E | 1.65-5.5 | SPDT | 1 | Data | 10 | 16 | 350 | SC70-6<br>SOT23-6 |
| | DIO23157 | 1.8-5.5 | DPDT | 2 | Data | 4.5 | 10 | >300 | MSOP-10 |
| | DIO17170 | 1.8-5.5 | SPDT | 2 | Audio | 2 | - | 383 | DQFN-10 |
| | DIO32276 | 1.65-5.5 | DPDT | 2 | Audio | 0.8 | 10 | 550 | DQFN-12 |
| | DIO31308 | 1.62-5.5 | SP8T | 1 | Data | 50 | 6 | 500 | TSSOP-16 |
| 耗尽型开关 | DIO1505 | 0-5.5 | SPST | 1 | Data/Audio | 0.67 | 25 | 247 | WLCSP-4 |
| | DIO1553/B | 0-4.3 | SPST | 2 | Audio | 0.6 | 21 | 340 | WLCSP-9 |
| | DIO1500 | 0-3.0 | QPST | 4 | Data/Audio | 0.5 | - | 300 | WLCSP-12 |
| | DIO1501 | 0-3.0 | QPST | 4 | Data/Audio | 0.5 | - | 330 | WLCSP-12 |
| SIM卡模拟开关 | DIO1568 | 1.65-5.5 | SPDT | 4 | Data<br>SIM | 2.7<br>0.85 | 20<br>100 | 200<br>60 | DQFN-16<br>TQFN-16 |
| MIPI高速开关 | DIO1646 | 1.65-5 | SPDT | 10 | MIPI | 5.5 | 1.6 | 2500 | WLCSP-36 |
| | DIO1647 | 1.65-5 | SPDT | 10 | MIPI | 7.5 | 1.5 | 3500 | WLCSP-36 |
| | DIO1648 | 1.65-5 | SPDT | 10 | MIPI | 6.5 | 1.5 | 3500 | WLCSP-36 |
| | DIO1628 | 1.65-5.5 | TPDT | 6 | MIPI | 10 | 4 | 6000 | LGA-24 |
| MIPI高速开关 | DIO1634B | 1.65-5 | SPDT | 10 | MIPI | 7.5 | 1.5 | 6000 | WLCSP-36 |

| 品类 | 型号 | 输入电压 (V) | 配置 | 通道数量 | 通道类型 | 导通内阻（典型值）(Ohms) | 导通电容（典型值）(pF) | -3dB 带宽 (MHz) | 封装 |
|---|---|---|---|---|---|---|---|---|---|
| MIPI高速开关 | DIO1642 | 1.65-5.5 | TPDT | 6 | MIPI | 10 | 4 | 4000 | QFN-24 |
| I2C开关 | DIO74548 | 1.65-5.5 | 8ch | 16 | I2C | - | - | 0.4 | TSSOP-24<br>VQFN-24 |
| | DIO74546 | 1.65-5.5 | 4ch | 8 | I2C | - | - | 0.4 | TSSOP16<br>SOP16 |
| | DIO74544 | 1.65-5.5 | 4ch | 8 | I2C | - | - | 0.4 | TSSOP-20 |


运算放大器是对温度、湿度、压力、长度、电流、电压、气体、温度等弱信号进行连续检测,并放大后,传输给系统,对信号得保真度是非常重要器件之一。根据应用要求,可分为普通运算放大器、高速运算放大器、低功耗运算放大器、高压摆率运算放大器、高精度运算放大器等等。

| 品类 | 型号 | 工作电压 (V) | 静态电流 / 每通道（典型值）(uA) | 通道数 | 增益带宽积（典型值）(MHz) | 压摆率（典型值）(V/us) | 轨对轨 | 输入失调电压（最大值）(mV) | 封装 |
|---|---|---|---|---|---|---|---|---|---|
| 通用运算放大器 | DIO2051A | 1.8-5.5 | 16 | 1 | 0.55 | 0.32 | In, Out | 3.5 | SOT23-5 |
| | DIO32051 | 2.1-5.5 | 24 | 1 | 0.5 | 0.29 | In, Out | 3 | SOT23-5<br>SC70-5 |
| | DIO32051A | 1.8-5.5 | 24 | 1 | 0.5 | 0.29 | In, Out | 3 | SOT23-5<br>SC70-5<br>DFN-4 |
| | DIO32052 | 2.1-5.5 | 24 | 2 | 0.5 | 0.29 | In, Out | 3 | SOIC-8<br>MSOP-8 |
| | DIO32054 | 2.1-5.5 | 24 | 4 | 0.5 | 0.29 | In, Out | 3 | SOIC-14<br>TSSOP-14 |
| | DIO29001 | 1.65-5.5 | 40 | 1 | 0.4 | 0.17 | In, Out | 1.5 | DFN-4,<br>SOT23-5,<br>SC70-5 |
| | DIO29002 | 1.65-5.5 | 40 | 2 | 0.4 | 0.17 | In, Out | 1.5 | SOIC-8<br>MSOP-8 |
| | DIO29004 | 1.65-5.5 | 40 | 4 | 0.4 | 0.17 | In, Out | 1.5 | SOIC-14<br>TSSOP-14 |

| 品类 | 型号 | 工作电压 (V) | 静态电流 / 每通道 (典型值)(uA) | 通道数 | 增益带宽积 (典型值) (MHz) | 压摆率 (典型值) (V/us) | 轨对轨 | 输入失调电压 (最大值) (mV) | 封装 |
|---|---|---|---|---|---|---|---|---|---|
| 通用运算放大器 | DIO32358 | 2.0-5.5 | 60 | 2 | 1.4 | 0.6 | In, Out | 6 | SOIC-8<br>MSOP-8 |
| | DIO3581 | 2.0-5.5 | 60 | 1 | 1.4 | 0.6 | In, Out | 3 | SOT23-5<br>SC70-5 |
| | DIO3582 | 2.0-5.5 | 60 | 2 | 1.4 | 0.6 | In, Out | 3 | SOIC-8<br>MSOP-8<br>DFN-8 |
| | DIO3584 | 2.0-5.5 | 60 | 4 | 1.4 | 0.6 | In, Out | 3 | SOIC-14<br>TSSOP-14 |
| | DIO20721 | 2.5-5.5 | 620 | 1 | 10 | 6.5 | In, Out | 5 | SC70-5<br>SOT23-5 |
| | DIO20721D | 2.5-5.5 | 620 | 1 | 10 | 6.5 | In, Out | 5 | SOT23-6 |
| | DIO20722 | 2.5-5.5 | 620 | 2 | 10 | 6.5 | In, Out | 5 | SOIC-8<br>MSOP-8<br>TSSOP-8<br>DFN-8<br>TSOT23-8 |
| | DIO20724 | 2.5-5.5 | 620 | 4 | 10 | 6.5 | In, Out | 5 | SOIC-14<br>TSSOP-14 |
| | DIO2172 | 3.0-5.5 | - | 2 | 10 | 7 | In, Out | 0.8 | TSOT23-8 |
| | DIO20221 | 2.5-5.5 | 190 | 1 | 3 | 1.7 | In, Out | 5 | SC70-5<br>SOT23-5 |
| | DIO20222 | 2.5-5.5 | 190 | 2 | 3 | 1.7 | In, Out | 5 | MSOP-8<br>SOIC-8 |
| | DIO20224 | 2.5-5.5 | 190 | 4 | 3 | 1.7 | In, Out | 5 | SOIC-14<br>TSSOP-14 |
| | DIO20321 | 2.5-5.5 | 350 | 1 | 6 | 3.6 | In, Out | 3.5 | SOT23-5<br>SOIC-8 |
| | DIO20322 | 2.5-5.5 | 350 | 2 | 6 | 3.6 | In, Out | 3.5 | SOIC-8<br>MSOP-8<br>TSSOP-8 |
| | DIO20324 | 2.5-5.5 | 350 | 4 | 6 | 3.6 | In, Out | 3.5 | SOIC-14<br>TSSOP-14 |
| | DIO2036 | 2.5-5.5 | 350 | 6 | 6 | 3.6 | In, Out | 3.5 | QFN4*4-20 |
| | DIO8358 | 2.1-5.5 | 40 | 2 | 1 | 0.6 | In, Out | A:3.5 B:8 | SOIC-8<br>MSOP-8 |
| 高压运算放大器 | DIO2601 | 4.5-36 | 950 | 1 | 3.5 | 2.5 | Out | 3.5 | SOT23-5<br>SOIC-8 |
| | DIO2602 | 4.5-36 | 950 | 2 | 3.5 | 2.5 | Out | 3.5 | MSOP-8<br>SOIC-8 |
| | DIO2604 | 4.5-36 | 950 | 4 | 3.5 | 2.5 | Out | 3.5 | SOIC-14<br>TSSOP-14 |
| | DIO2842 | 2.7-12 | 620 | 1 | 4.5 | 3 | In, Out | 0.6 | MSOP-8 |
| | DIO2701 | 4.5-32 | 1400 | 1 | 6 | 20 | Out | 3.5 | SOT23-5<br>SOIC-8 |
| | DIO2702 | 4.5-32 | 1400 | 2 | 6 | 20 | Out | 3.5 | SOIC-8<br>MSOP-8<br>TSSOP-8 |
| | DIO2704 | 4.5-32 | 1400 | 4 | 6 | 20 | Out | 3.5 | TSSOP-14<br>SOIC-14 |

| 品类 | 型号 | 工作电压（V） | 静态电流 / 每通道（典型值）(uA) | 通道数 | 增益带宽积（典型值）（MHz） | 压摆率（典型值）（V/us） | 轨对轨 | 输入失调电压（最大值）（mV） | 封装 |
|---|---|---|---|---|---|---|---|---|---|
| 高精度运算放大器 | DIO2351 | 2.5-5.5 | 730 | 1 | 1.2 | 1 | In, Out | 0.03 | SOT23-5<br>SOIC-8 |
| | DIO2352 | 2.5-5.5 | 730 | 2 | 1.2 | 1 | In, Out | 0.03 | SOIC-8<br>MSOP-8<br>TSSOP-8 |
| | DIO2354 | 2.5-5.5 | 730 | 4 | 1.2 | 1 | In, Out | 0.03 | TSSOP-14 |
| | DIO2361 | 2.5-5.5 | 17 | 1 | 0.3 | 0.16 | In, Out | B:0.02<br>M:0.065 | SC70-5<br>SOT23-5<br>SOIC-8<br>MSOP-8 |
| | DIO2362 | 2.5-5.5 | 17 | 2 | 0.3 | 0.16 | In, Out | B:0.02<br>M:0.065 | DFN-8<br>DFN3*3-8<br>SOIC-8<br>MSOP-8 |
| | DIO2364 | 2.5-5.5 | 17 | 4 | 0.3 | 0.16 | In, Out | 0.65 | SOP-14<br>TSSOP-14 |
| | DIO2372 | 2.5-5.5 | 17 | 2 | 0.3 | 0.16 | In, Out | 0.028 | MSOP-8 |
| | DIO2381 | 2.5-5.5 | 40 | 1 | 0.45 | 0.3 | In, Out | B:0.01<br>C:0.02 | SC70-5,<br>SOT23-5 |
| | DIO2382 | 2.5-5.5 | 40 | 2 | 0.45 | 0.3 | In, Out | B:0.01<br>C:0.02 | DFN-8,<br>SOP-8,<br>MSOP-8 |
| | DIO2384 | 2.5-5.5 | 40 | 4 | 0.45 | 0.3 | In, Out | B:0.01<br>C:0.02 | TSSOP-14,<br>SOP-14 |
| 超低功耗运算放大器 | DIO20182 | 1.4-5.5 | 0.38 | 2 | 0.005 | 0.0015 | In, Out | 3 | DFN-8<br>MSOP-8 |
| | DIO20381 | 1.4-5.5 | 0.38 | 1 | 0.005 | 0.0015 | In, Out | 3 | SOT23-5<br>SOIC-8<br>MSOP-8 |
| | DIO20381D | 1.4-5.5 | 0.38 | 1 | 0.005 | 0.0015 | In, Out | 3 | SOT23-6<br>SOIC-8<br>MSOP-8 |
| | DIO20382 | 1.4-5.5 | 0.38 | 2 | 0.005 | 0.0015 | In, Out | 3 | SOIC-8<br>MSOP-8 |
| | DIO20384 | 1.4-5.5 | 0.38 | 4 | 0.005 | 0.0015 | In, Out | 3 | SOP-14<br>TSSOP-14 |
| | DIO20881 | 1.4-5.5 | 0.6 | 1 | 0.014 | 0.0035 | In, Out | 3.5 | SOT23-5<br>SOIC-8<br>MSOP-8 |
| | DIO20881D | 1.4-5.5 | 0.6 | 1 | 0.014 | 0.0035 | In, Out | 3.5 | SOT23-6<br>SOIC-8<br>MSOP-8 |
| | DIO20882 | 1.4-5.5 | 0.6 | 2 | 0.014 | 0.0035 | In, Out | 3.5 | SOIC-8<br>MSOP-8 |
| | DIO20884 | 1.4-5.5 | 0.6 | 4 | 0.014 | 0.0035 | In, Out | 3.5 | SOP-14<br>TSSOP-14 |
| | DIO20991 | 1.8-5.5 | 7 | 1 | 0.11 | 0.08 | In, Out | 0.06 | DFN6 |
| | DIO20491 | 1.8-5.5 | 4 | 1 | 0.15 | 0.07 | In, Out | 0.85 | SOT23-5<br>DFN2*2-6 |
| | DIO20921 | 1.8-5.5 | 4 | 1 | 0.15 | 0.07 | In, Out | 5 | SOT23-5<br>SOIC-8<br>MSOP-8 |

| 品类 | 型号 | 工作电压 (V) | 静态电流 / 每通道 (典型值) (uA) | 通道数 | 增益带宽积 (典型值) (MHz) | 压摆率 (典型值) (V/us) | 轨对轨 | 输入失调电压 (最大值) (mV) | 封装 |
|---|---|---|---|---|---|---|---|---|---|
| 超低功耗运算放大器 | DIO20921D | 1.8-5.5 | 4 | 1 | 0.15 | 0.07 | In, Out | 5 | SOT23-6<br>SOIC-8<br>MSOP-8<br>DFN2*2-6 |
| | DIO20922 | 1.8-5.5 | 4 | 2 | 0.15 | 0.07 | In, Out | 5 | SOIC-8<br>MSOP-8 |
| | DIO20924 | 1.8-5.5 | 4 | 4 | 0.15 | 0.07 | In, Out | 5 | SOP-14<br>TSSOP-14 |
| 高精度低功耗运算放大器 | DIO2361L | 1.8-5.5 | 7 | 1 | 0.11 | 0.08 | In, Out | 0.04<br>B:0.02<br>M:0.065 | SC70-5<br>SOT23-5<br>SOIC-8<br>MSOP-8 |
| | DIO2362L | 1.8-5.5 | 7 | 2 | 0.11 | 0.08 | In, Out | 0.04<br>B:0.02<br>M:0.065 | DFN-8<br>SOIC-8<br>MSOP-8 |
| | DIO2364L | 1.8-5.5 | 7 | 4 | 0.11 | 0.08 | In, Out | 0.04<br>B:0.02<br>M:0.065 | DFN-14<br>SOP-14<br>TSSOP-14 |
| | DIO2362H | 1.8-5.5 | 17 | 2 | 0.3 | 0.16 | In, Out | 0.035 | DFN-8 |
| | DIO2331B | 1.8-5.5 | 1 | 1 | 0.03 | 0.01 | In, Out | 0.035 | DFN-6<br>SOT23-5<br>SOIC-8<br>MSOP-8 |
| | DIO2332B | 1.8-5.5 | 1 | 1 | 0.03 | 0.01 | In, Out | 0.035 | SOIC-8<br>MSOP-8 |
| | DIO2333B | 1.8-5.5 | 1 | 2 | 0.03 | 0.01 | In, Out | 0.035 | SOIC-8<br>MSOP-8 |
| | DIO2334B | 1.8-5.5 | 1 | 4 | 0.03 | 0.01 | In, Out | 0.035 | SOIC-8<br>MSOP-8<br>SOIC-14<br>TSSOP-14 |
| | DIO2331 | 1.8-5.5 | 1 | 1 | 0.03 | 0.01 | In, Out | 0.015 | SOT23-5<br>SOIC-8<br>MSOP-8 |
| | DIO2331LN6 | 1.8-5.5 | 1 | 1 | 0.03 | 0.01 | In, Out | 0.015 | DFN-6 |
| | DIO2331D | 1.8-5.5 | 1 | 1 | 0.03 | 0.01 | In, Out | 0.015 | SOT23-6 |
| | DIO2333 | 1.8-5.5 | 1 | 1 | 0.03 | 0.01 | In, Out | 0.015 | SOIC-8<br>MSOP-8 |
| | DIO2332 | 1.8-5.5 | 1 | 2 | 0.03 | 0.01 | In, Out | 0.015 | SOIC-8<br>MSOP-8 |
| | DIO2334 | 1.8-5.5 | 1 | 4 | 0.03 | 0.01 | In, Out | 0.015 | SOIC-8<br>MSOP-8<br>SOIC-14<br>TSSOP-14 |
| 高速运算放大器 | DIO2641 | 2.7-13.2 | 7000 | 1 | 105 | 85 | In, Out | 11 | SOT23-5<br>SOIC-8 |
| | DIO2642 | 2.7-13.2 | 7000 | 2 | 105 | 85 | In, Out | 11 | SOIC-8<br>MSOP-8 |
| | DIO2644 | 2.7-13.2 | 7000 | 4 | 105 | 85 | In, Out | 11 | SOP-14<br>TSSOP-14 |
| | DIO2641B | 2.7-13.2 | 7000 | 1 | 105 | 100 | In, Out | 9.5 | SOT23-5<br>SOIC-8 |
| | DIO2642B | 2.7-13.2 | 7000 | 2 | 105 | 100 | In, Out | 9.5 | MSOP-8 |
| | DIO2644B | 2.7-13.2 | 7000 | 4 | 105 | 100 | In, Out | 9.5 | SOP-14<br>TSSOP-14 |

| 品类 | 型号 | 工作电压 (V) | 静态电流 / 每通道 ( 典型值 ) (uA) | 通道数 | 增益带宽积 ( 典型值 ) (MHz) | 增益选择 | 轨到轨 | 输入失调电压 ( 最大值 ) (mV) | 封装 |
|---|---|---|---|---|---|---|---|---|---|
| 电流检测 | DIO2352A/B | 2.5-5.5 | 730 | 1 | 0.0025 | A:50V/V<br>B:100V/V | In, Out | 0.08 | SOIC-8<br>TSSOP-8<br>DFN-8 |
| | DIO2488 | 2.7-26 | 63 | 1/2 | 0.071 | A:50V/V<br>B:100V/V<br>C:200V/V | In, Out | 0.15 | SC70-6<br>DQFN-10 |
| | DIO2216 | 1.8-5.5 | 13 | 1 | A:0.02<br>B:0.01<br>C:0.005<br>D:0.0025 | A:25V/V<br>B:50V/V<br>C:100V/V<br>D:200V/V | - | 0.1 | WLCSP-4 |
| | DIO2240 | 2.7-5.5 | 1800 | 1 | 0.4 | A:20V/V<br>B:50V/V<br>C:100V/V<br>D:200V/V | - | 0.04 | TSSOP-8<br>SOIC-8 |
| | DIO2213 | 3-40V | 450 | 1 | 0.1 | 50V/V | - | 0.05 | SOT23-6<br>DFN2*2-6 |
| | DIO2210 | 3-40V | 470 | 1 | 0.44 | 20V/V | - | 0.05 | MSOP-8<br>SOIC-8 |
| | DIO2211 | 3-40V | 470 | 1 | 0.11 | 50V/V | - | 0.05 | MSOP-8<br>SOIC-8 |
| | DIO2212 | 3-40V | 470 | 1 | 0.065 | 100V/V | - | 0.05 | MSOP-8<br>SOIC-8 |

| 品类 | 型号 | 工作电压 (V) | 通道数 | 输出类型 | 传播延迟时间 (μs) | 输入失调电压 @25°C ( 最大值 )(mv) | 轨对轨 | 封装 |
|---|---|---|---|---|---|---|---|---|
| 比较器 | DIO20871 | 1.4-5.5 | 1 | Push-pull | 1.3 | 5 | In, Out | SOT23-5<br>SC70-5 |
| | DIO20871A | 1.4-5.5 | 1 | Push-pull | 1.3 | 5 | In, Out | SOT23-5<br>SC70-5 |
| | DIO20872 | 1.4-5.5 | 2 | Push-pull | 1.3 | 5 | In, Out | SOIC-8<br>MSOP-8 |
| | DIO20874 | 1.4-5.5 | 4 | Push-pull | 1.3 | 5 | In, Out | SOP-14<br>TSSOP-14 |
| | DIO20875 | 1.4-5.5 | 1 | Push-pull | 1.3 | 5 | In, Out | SOIC-8<br>MSOP-8 |
| | DIO20891 | 1.4-5.5 | 1 | Push-pull | 8 | 5 | In | SC70-5<br>DFN-6<br>DFN-4 |
| | DIO20892 | 1.4-5.5 | 2 | Push-pull | 8 | 5 | In | DFN-8 |
| | DIO20871B | 1.4-5.5 | 1 | Open-drain | 1.3 | 5 | In, Out | SOT23-5 |
| | DIO20874B | 1.4-5.5 | 4 | Open-drain | 1.3 | 5 | In, Out | QFN-16 |
| | DIO331 | 1.8-5.5 | 1 | Open-drain | 0.084 | 5 | In, Out | SOT23-6<br>SC70-5 |
| | DIO393 | 1.8-5.5 | 2 | Open-drain | 0.084 | 5 | In, Out | SOIC-8<br>MSOP-8 |
| | DIO20903 | 2.7-36 | 2 | Open-drain | 0.17 | 4.5 | In | SOIC-8,<br>MSOP-8,<br>DIP8,<br>TSSOP-8,<br>TSOT23-8,<br>DFN2*2-8 |


电平转换是将一个信号电压转换为另一个信号电压，旨在确保不同电压域间的信号能够准确无误地通讯。

| 品类 | 型号 | 工作电压 VCCA (V) | 工作电压 VCCB (V) | 应用 | 通道数 | 最大速率 (Mbps) | 封装 |
|---|---|---|---|---|---|---|---|
| 电平转换器 | DIO74559 | 1.08-1.98 | 1.62-3.3 | SIM Card | 3 | 25MHz | WLCSP-9 |
| | DIO74557 | 1.08-1.95(Host) | 1.65-3.6(SIM) | SIM Card | 3 | 10MHz | QFN-10 |
| | DIO7416 | 1.08-3.6 | 1.08-3.6 | I2C | 2 | - | DFN-8<br>TSOT23-8 |
| | DIO74134 | 1.08-3.6 | 1.08-3.6 | General | 1 | - | SC70-5<br>DFN-6 |
| | DIO7S102 | 1.08-3.6 | 1.65-5.5 | I2C, MDIO,I2S, JTAG, SPI, UART | 2 | 120Mbps(Push pull)<br>2Mbps(Open drain) | VSSOP-8 |
| | DIO7S104 | 1.08-3.6 | 1.65-5.5 | I2C, MDIO,I2S, JTAG, SPI, UART | 4 | 120Mbps(Push pull)<br>2Mbps(Open drain) | TSSOP-14<br>UQFN-12 |
| | DIO7S108 | 1.08-3.6 | 1.65-5.5 | I2C, MDIO,I2S, JTAG, SPI, UART | 8 | 120Mbps(Push pull)<br>2Mbps(Open drain) | TSSOP-20 |
| | DIO7B102 | 1.08-3.6 | 1.65-5.5 | I2S, JTAG, SPI, UART | 2 | 110Mbps(Push pull) | VSSOP-8 |
| | DIO7B104 | 1.08-3.6 | 1.65-5.5 | I2S, JTAG, SPI, UART | 4 | 110Mbps(Push pull) | TSSOP-14<br>UQFN-12 |
| | DIO7B108 | 1.08-3.6 | 1.65-5.5 | I2S, JTAG, SPI, UART | 8 | 110Mbps(Push pull) | TSSOP-20 |


信号中继器是一种用于接收、放大和重新发送信号的设备，用于扩展信号传输距离或改善信号质量。

| 品类 | 型号 | 工作电压 | 静态电流（典型值）(mA) | 速率 | 均衡（最大值） | 预加重（最大值） | 工作温度范围（° C) | 封装 |
|---|---|---|---|---|---|---|---|---|
| USB Redriver | DIO36812 | 1.71~1.89V | 2.5 | 5Gbps | -14dB | -4dB | -40 to 85 | QFN-24 |


温度传感器是一种能够感知环境温度并将其转换为可读信号（如电压或数字输出）的设备，用于监测温度变化。

| 型号 | 工作电压 | 工作电流（典型值）(μA) | 远程通道数 | 温度分辨率（位） | 本地通道精度（最大值） | 远程通道精度（最大值） | 地址 | 特点 | 封装 |
|---|---|---|---|---|---|---|---|---|---|
| DIO1414 | 3.0 ~3.6 V | 270 | 3 | 12 | ±1°C | ±1°C | 6 | REC/ALERT/ THERM/ ADDR | MSOP-10, DFN-10 |

| 型号 | 工作电压 | 工作电流（典型值）（μA） | 远程通道数 | 温度分辨率（位） | 本地通道精度（最大值） | 远程通道精度（最大值） | 地址 | 特点 | 封装 |
|---|---|---|---|---|---|---|---|---|---|
| DIO1413 | 3.0 ~3.6 V | 270 | 2 | 12 | ±1°C | ±1°C | 6 | REC/ALERT/THERM/ADDR | MSOP-10, DFN-10 |
| DIO1412 | 3.0 ~3.6 V | 270 | 1 | 12 | ±1°C | ±1°C | 6 | REC/ALERT/THERM/ADDR | MSOP-8, DFN-8 |
| DIO1411 | 3.0 ~3.6 V | 270 | 0 | 12 | ±1°C | - | 6 | ALERT/ADDR | MSOP-8 |
| DIO1408 | 1.4~3.6 V | 2 | 0 | 12 | ±0.3°C (Typ) | - | 4 | ALERT/ADDR | WLCSP-6 |


# 霍尔传感器
## Hall Sensor

霍尔传感器是一种利用霍尔效应来检测磁场变化并将其转换为电信号的装置，广泛应用于位置、速度和电流的测量。

| 型号 | 类型 | 接口 | 工作电压 (V) | 工作电流（典型值）(mA) | -3dB 小信号带宽 (KHz) | 工作点 / 释放点（典型值）(mT) | 封装 | 工作温度 | 特点 |
|---|---|---|---|---|---|---|---|---|---|
| DIO9101D | 锁存 | 3 线电压开漏输出 | 2.7 ~38 | 2.7@5V | 50 | 0.75~28 | SOT23/TO92S-3/SOT23-3 | -40~125°C | OVP、ROVP、UVLO、OCP、OTP、Low jitter、Fast power on |
| DIO9101A | 单南极 | 3 线电压开漏输出 | 2.7 ~38 | 2.7@5V | 50 | 0.75~28 | SOT23/TO92S-3/SOT23-3 | -40~125°C | |
| DIO9101B | 单北极 | 3 线电压开漏输出 | 2.7 ~38 | 2.7@5V | 50 | 0.75~28 | SOT23/TO92S-3/SOT23-3 | -40~125°C | |
| DIO9101C | 全极 | 3 线电压开漏输出 | 2.7 ~38 | 2.7@5V | 50 | 0.75~28 | SOT23/TO92S-3/SOT23-3 | -40~125°C | |


DCDC将直流电源从一个电压值转换为另一个电压值的电子设备。DCDC转换器通过开关电源技术，利用高频开关元件和储能元件实现电压变换，具有高效、可靠的特点，广泛应用于各种电子系统和设备中。主要参数为输入、输出电压，负载电流，控制模式，导通内阻，开关频率，反馈电压等。LDO又称低压差线性稳压器，是线性直流稳压器的一种，用以提供稳定的直流电压电源。特别适用于需要高精度和低噪声的模拟电路，如移动和物联网设备中的锂电池应用场合及低纹波的场景。主要参数为输入、输出电压，电压压降，负载电流，纹波抑制比，静态电流等。

| 品类 | 型号 | 输入电压 (V) | 静态电流 tlq(uA) | 输出电流 (A) | 反馈电压 (V) | 开关频率 (MHz) | MOSFET 上 / 下管导通内阻 (mΩ) | 控制模式 | 封装 |
|---|---|---|---|---|---|---|---|---|---|
| 降压转换器 | DIO61845 | 5-40 | 150 | 0.6 | 0.8 | 2 | 400/200 | PWM/PSM | SOT23-6 |
| | DIO60845 | 5-40 | 150 | 0.6 | 0.8 | 0.65 | 400/200 | PWM/PSM | SOT23-6 |
| | DIO62845B | 4.5-28 | 140 | 1 | 0.8 | 0.5 | 130/90 | COT/PWM | SOT23-6 |
| | DIO68201 | 4.5-28 | 140 | 2 | 0.6 | 0.5 | 130/90 | COT/PWM | SOT23-6 |
| | DIO62845 | 4.5-28 | 140 | 2 | 0.8 | 0.5 | 130/90 | COT/PWM | SOT23-6 |
| | DIO54270 | 4.5-28 | 140 | 2 | 0.8 | 0.5 | 120/75 | COT/PWM | TSOT23-6 |
| | DIO54302 | 4.5-28 | 140 | 3 | 0.6 | 0.5 | 80/40 | COT/PWM | TSOT23-6 |
| | DIO54312 | 4.5-30 | 140 | 3 | 0.6 | 0.7 | 80/40 | COT/PWM | TSOT23-6 |
| | DIO54335 | 4.5-28 | 140 | 3 | 0.765 | 0.5 | 80/40 | COT/PWM | TSOT23-6 |
| | DIO54202 | 4.5-28 | 140 | 2 | 0.6 | 0.7 | 120/75 | COT/PWM | TSOT23-6 |
| | DIO6988 | 4.5-28 | 150 | 8 | 0.6 | 0.6 | 20/10 | COT/PWM/ PFM | QFN-16 |
| | DIO6986 | 4.5-28 | 150 | 6 | 0.6 | 0.6 | 30/15 | COT/PWM/ PFM | QFN-16 |
| | DIO69209 | 4.5-24 | 700 | 2 | 0.765 | 0.7 | 120/75 | COT/PWM | TSOT23-6 |
| | DIO69309 | 4.5-24 | 700 | 3 | 0.765 | 0.7 | 80/40 | COT/PWM | TSOT23-6 |
| | DIO6912 | 4.5-24 | 140 | 2 | 0.6 | 0.5 | 130/90 | COT/PWM | SOT23-6 |
| | DIO6913 | 4.5-24 | 140 | 3 | 0.6 | 0.5 | 80/40 | COT/PWM | TSOT23-6 |

| 品类 | 型号 | 输入电压 (V) | 静态电流 tlq(uA) | 输出电流 (A) | 反馈电压 (V) | 开关频率 (MHz) | MOSFET 上 / 下管导通内阻 (mΩ) | 控制模式 | 封装 |
|---|---|---|---|---|---|---|---|---|---|
| 降压转换器 | DIO6920 | 4.5-24 | 140 | 2 | 0.765 | 0.5 | 120/75 | COT/PWM | TSOT23-6 |
| | DIO6920H | | 140 | 2 | 0.765 | 0.5 | 120/75 | COT/PWM | TSOT23-6 |
| | DIO69201 | 4.5-24 | 140 | 2 | 0.765 | 0.7 | 120/70 | COT/PWM | TSOT23-6 |
| | DIO6921 | 4.5-28 | 140 | 2 | 0.6 | 0.7 | 120/75 | COT/PWM | TSOT23-6 |
| | DIU6921 | 4.5-30 | 140 | 2 | 0.6 | 0.7 | 120/75 | COT/PWM | TSOT23-6 |
| | DIG69122 | 4.5-28 | 140 | 2 | 0.6 | 0.5 | 130/90 | COT/PWM | SOT23-6 |
| | DIO6922 | 4.5-24 | 140 | 2 | 0.6 | 0.5 | 130/90 | COT/PWM | DFN-6 |
| | DIO6930 | 4.5-24 | 140 | 3 | 0.765 | 0.5 | 80/40 | COT/PWM | TSOT23-6 |
| | DIO69301 | 4.5-24 | 190 | 3 | 0.765 | 0.7 | 80/40 | COT/PWM | TSOT23-6 |
| | DIO6931 | 4.5-28 | 140 | 3 | 0.765 | 0.5 | 80/40 | COT/PWM | TSOT23-6 |
| | DIG69300 | 4.5-24 | 140 | 3 | 0.6 | 0.8 | 63/36 | COT/PWM | TSOT23-6 |
| | DIG69130 | 4.5-24 | 140 | 3 | 0.6 | 0.8 | 80/40 | COT/PWM | TSOT23-6 |
| | DIO6957 | 4.5-24 | 140 | 2 | 0.8 | 0.5 | 130/65 | COT/PWM | SOT-563 |
| | DIO6957B | 4.2-20 | 140 | 2 | 0.8 | 0.8 | 130/65 | COT/PWM | SOT-563 |
| | DIO6958 | 4.5-20 | 140 | 3 | 0.8 | 0.8 | 63/36 | COT/PWM | SOT-563 |
| | DIO6966 | 4.2-20 | 140 | 2 | 0.8 | 0.8 | 63/36 | COT/PWM | SOT-563 |
| | DIO6968 | 4.2-20 | 140 | 3 | 0.8 | 0.8 | 76/43 | COT/PWM | SOT-563 |
| | DIO6970 | 4.5-24 | 140 | | 0.8 | 0.5 | 120/75 | COT/PWM | TSOT23-6 |
| | DIO6971 | 4.5-24 | 140 | 3 | 0.8 | 0.5 | 80/40 | COT/PWM | TSOT23-6 |
| | DIO62560 | 2.5-5.5 | 40 | 0.6 | 0.6 | 1.5 | 230/170 | PWM | DFN-6 |
| | DIO62560B | 2.5-5.5 | 40 | 0.6 | 0.6 | 1.5 | 230/170 | PWM | DFN-6 |
| | DIO62810 | 2.5-5.5 | 590 | 0.6 | - | 4/5 | 320/260 | PWM | DFN-6<br>WLCSP-5 |
| | DIO62820 | 2.5-5.5 | 14 | 0.6 | - | 4/5 | 320/260 | PWM/PFM | DFN-6<br>WLCSP-5 |
| | DIO60010 | 2.5-5.5 | 25 | 1 | 0.6 | 1.65 | 260/180 | COT/Auto mode/Forced PWM | SOT563/<br>SOT23-5/<br>SOT23-6 |
| | DIO60011 | 2.5-5.5 | 20 | 1 | 0.6 | 1.65 | 260/180 | COT/Auto mode/Forced PWM | SOT563/<br>SOT23-6 |

| 品类 | 型号 | 输入电压 (V) | 静态电流 tlq(uA) | 输出电流 (A) | 反馈电压 (V) | 开关频率 (MHz) | MOSFET 上 / 下管导通内阻 (mΩ) | 控制模式 | 封装 |
|---|---|---|---|---|---|---|---|---|---|
| 降压转换器 | DIO6920 | 4.5-24 | 140 | 2 | 0.765 | 0.5 | 120/75 | COT/PWM | TSOT23-6 |
| | DIO6920H | | 140 | 2 | 0.765 | 0.5 | 120/75 | COT/PWM | TSOT23-6 |
| | DIO69201 | 4.5-24 | 140 | 2 | 0.765 | 0.7 | 120/70 | COT/PWM | TSOT23-6 |
| | DIO6921 | 4.5-28 | 140 | 2 | 0.6 | 0.7 | 120/75 | COT/PWM | TSOT23-6 |
| | DIU6921 | 4.5-30 | 140 | 2 | 0.6 | 0.7 | 120/75 | COT/PWM | TSOT23-6 |
| | DIG69122 | 4.5-28 | 140 | 2 | 0.6 | 0.5 | 130/90 | COT/PWM | SOT23-6 |
| | DIO6922 | 4.5-24 | 140 | 2 | 0.6 | 0.5 | 130/90 | COT/PWM | DFN-6 |
| | DIO6930 | 4.5-24 | 140 | 3 | 0.765 | 0.5 | 80/40 | COT/PWM | TSOT23-6 |
| | DIO69301 | 4.5-24 | 190 | 3 | 0.765 | 0.7 | 80/40 | COT/PWM | TSOT23-6 |
| | DIO6931 | 4.5-28 | 140 | 3 | 0.765 | 0.5 | 80/40 | COT/PWM | TSOT23-6 |
| | DIG69300 | 4.5-24 | 140 | 3 | 0.6 | 0.8 | 63/36 | COT/PWM | TSOT23-6 |
| | DIG69130 | 4.5-24 | 140 | 3 | 0.6 | 0.8 | 80/40 | COT/PWM | TSOT23-6 |
| | DIO6957 | 4.5-24 | 140 | 2 | 0.8 | 0.5 | 130/65 | COT/PWM | SOT-563 |
| | DIO6957B | 4.2-20 | 140 | 2 | 0.8 | 0.8 | 130/65 | COT/PWM | SOT-563 |
| | DIO6958 | 4.5-20 | 140 | 3 | 0.8 | 0.8 | 63/36 | COT/PWM | SOT-563 |
| | DIO6966 | 4.2-20 | 140 | 2 | 0.8 | 0.8 | 63/36 | COT/PWM | SOT-563 |
| | DIO6968 | 4.2-20 | 140 | 3 | 0.8 | 0.8 | 76/43 | COT/PWM | SOT-563 |
| | DIO6970 | 4.5-24 | 140 | | 0.8 | 0.5 | 120/75 | COT/PWM | TSOT23-6 |
| | DIO6971 | 4.5-24 | 140 | 3 | 0.8 | 0.5 | 80/40 | COT/PWM | TSOT23-6 |
| | DIO62560 | 2.5-5.5 | 40 | 0.6 | 0.6 | 1.5 | 230/170 | PWM | DFN-6 |
| | DIO62560B | 2.5-5.5 | 40 | 0.6 | 0.6 | 1.5 | 230/170 | PWM | DFN-6 |
| | DIO62810 | 2.5-5.5 | 590 | 0.6 | - | 4/5 | 320/260 | PWM | DFN-6<br>WLCSP-5 |
| | DIO62820 | 2.5-5.5 | 14 | 0.6 | - | 4/5 | 320/260 | PWM/PFM | DFN-6<br>WLCSP-5 |
| | DIO60010 | 2.5-5.5 | 25 | 1 | 0.6 | 1.65 | 260/180 | COT/Auto mode/Forced PWM | SOT563/<br>SOT23-5/<br>SOT23-6 |
| | DIO60011 | 2.5-5.5 | 20 | 1 | 0.6 | 1.65 | 260/180 | COT/Auto mode/Forced PWM | SOT563/<br>SOT23-6 |

| 品类 | 型号 | 输入电压 (V) | 静态电流 tIq(uA) | 输出电流 (A) | 反馈电压 (V) | 开关频率 (MHz) | MOSFET 上 / 下管导通内阻 (mΩ) | 控制模式 | 封装 |
|---|---|---|---|---|---|---|---|---|---|
| 降压转换器 | DIO6001 | 2.5-5.5 | 40 | 1 | 0.6 | 1.5 | 230/170 | PWM | SOT23-5/ DFN-6 |
| | DIO6100 | 2.5-5.5 | 40 | 1 | 0.6 | 1.5 | 230/170 | PWM | SOT23-5/ DFN-6 |
| | DIO6507 | 2.5-5.9 | 40 | 1 | 0.6 | 1.5 | 230/170 | PWM | DFN-6 |
| | DIO6010 | 2.5-5.5 | 40 | 1 | 0.6 | 1.5 | 230/170 | PWM | SOT23-5/ DFN-6 |
| | DIO6002 | 2.5-5.5 | 40 | 1.2 | 0.6 | 1.5 | 230/170 | PWM | SOT23-5 |
| | DIO6012 | 2.7-5.5 | 80 | 2 | 0.6 | 1 | 100/80 | PWM | SOT23-5/ SOT23-6 |
| | DIO60120 | 2.5-5.5 | 15 | 2 | 0.6 | 1 | 100/80 | COT | SOT23-5/ SOT23-6/ DFN-8/DFN-10/SOIC-8 |
| | DIO60121 | 2.5-5.5 | 15 | 2 | 0.6 | 1 | 100/80 | COT/Forced PWM | SOT563/ DFN-6 |
| | DIO6022 | 2.7-5.5 | 80 | 2 | 0.6 | 1 | 130/100 | PWM | SOIC-8 |
| | DIO6690 | 3-5.5 | 30 | 2 | 0.6 | 1.8 | 120/80 | COT/PFM | DFN-8 |
| | DIO6905 | 2.3-5.5 | 15-30 | 2 | 0.6 | 1.65-1.8 | 120/80 | COT/PWM | SOT563 DFN-6/DFN-8 |
| | DIO6023 | 2.7-5.5 | 80 | 2.5 | 0.6 | 1 | 100/70 | PWM | SOT23-6 |
| | DIO6083 | 2.7-5.5 | 80 | 3.5 | 0.6 | | 100/70 | PWM | DFN-8 |
| | DIO61300/02 | 2.4-5.5 | 7 | 3 | 0.6 | 1.2 | 80/50 | COT/PFM | SOT563 |
| | DIO60830 | 2.4-5.5 | 7 | 3 | 0.6 | 1 | 80/50 | PWM | DFN-8 DFN-10 EP-SOIC8 SOT563 |
| | DIO6073 | 8.2-36 | 500 | 0.5 | - | 0.63 | 600/330 | PWM | EP-SOIC8/ QFN-24 |
| | | 0.75-6 | 500 | 0.5 | 0.8 | 1 | - | PWM | EP-SOIC8/ QFN-24 |
| | | 3.3 | 500 | 0.07 | - | - | - | - | EP-SOIC8/ QFN-24 |
| | DIO6071 | 8.2-36 | 500 | 0.5 | - | 0.63 | 600/330 | PWM | EP-SOIC8/ QFN-24 |
| | | 0.75-6 | 500 | 0.5 | 0.8 | 1 | - | PWM | EP-SOIC8/ QFN-24 |
| | | 3.1 | 500 | 0.07 | - | - | - | - | EP-SOIC8/ QFN-24 |
| | DIO6063 | 2.7-5.5 | 80 | 3.5 | 0.6 | 1 | 90/70 | PWM | DFN-10 |
| | DIO6013 | 2.7-5.5 | 80 | 3 | 0.6 | 1 | 100/70 | PWM | SOIC-8 |
| | DIO6047 | 2.7-5.5 | 80 | 4 | 0.6 | 1 | 100/70 | PWM | QFN-16 |
| | DIO6048 | 2.5-5.5 | 10 | 4 | 0.6 | 1.25 | 60/40 | PWM | QFN-16 |
| | DIO6145B | 2.8-5.5 | 40 | 6 | 0.6 | 1.2 | 20/12 | COT/PWM/ PFM | DFN-12 |
| | DIO6155 | 2.5-5.5 | 10 | 2 | 0.6 | 2 | 26/25 | COT/PWM/ PFM | DFN-6 |
| | DIO6157 | 2.5-5.5 | 10 | 4 | 0.6 | 2 | 26/25 | COT/PWM/ PFM | DFN-6 |

| 品类 | 型号 | 输入电压 (V) | 静态电流 tlq(uA) | 输出电压 (V) | 输出电流 (A) | 反馈电压 (V) | 开关频率 (MHz) | 导通内阻 (mΩ) | 封装 |
|---|---|---|---|---|---|---|---|---|---|
| 降压转换器 | DIO61825 | 2.5-5.5 | 10 | 2 | 0.6 | 2 | 26/25 | COT/Auto mode/ Forced PWM | DFN-6 |
| | DIO61826 | 2.5-5.5 | 10 | 3 | 0.6 | 2 | 26/25 | COT/Auto mode/ Forced PWM | DFN-6 |
| | DIO61827 | 2.5-5.5 | 10 | 4 | 0.6 | 2 | 26/25 | COT/Auto mode/ Forced PWM | DFN-6 |
| 升压转换器 | DIO6328E | 2.3-25 | 100 | 2.3-25 | 2.3 | 0.2~0.6 | 1 | 150 | SOT23-6/ DFN-10 |
| | DIO6305B | 2.7-5.25 | 30 | 3-5.25 | 1.1 | 0.5 | 1.2 | 400 | SOT23-6 |
| | DIO6650 | 0.7-4.5 | 12~30 | 5 | 0.75~1.2 | - | 1.2 | 350~400 | TSOT23-6 |
| | DIO6602 | 0.7-5 | 12 | 1.8-5.5 | 0.75 | 0.5 | 1 | 350 | SOT23-6 |
| | DIO6605B | 2.7-4.5 | 30 | 5 | 1.2 | - | 1.2 | 400 | SOT23-6/ DFN-8 |
| | DIO6197 | 0.9-3.8 | 1 | 3.3 | 0.9 | - | 1 | 300(LS)/ 350(HS) VOUT = 3.3V | SOT23-5 |
| | DIO6099 | 0.9-5.5 | 0.4 | 1.8-5.5 | 1 | 1 | 1 | 300(LS)/ 350(HS) VOUT = 3.3V | SOT23-6/DFN-6/ WLCSP-6 |
| | DIO6199 | 1.1-5.5 | 0.6 | 2-5.5 | 1 | 1 | 1 | 300(LS)/ 350(HS) VOUT = 3.3V | SOT23-6/ DFN-6 |
| | DIO6346 | 1.8-5.5 | 0.6 | 4.5-28 | 0.9 | 0.795 | 1.05 | 450(LS)/ 850(HS) VOUT = 12 V | WLCSP-6 |
| | DIO6095 | 0.9-5.5 | 0.4 | 5 | 0.9 | - | 1 | 300 | DFN-6/ WLCSP-6 |

| 品类 | 型号 | 输入电压 (V) | 静态电流 tlq(uA) | 输出电压 (V) | 电压降 (mV) | 输出电流 (max) (A) | PSRR (dB@1kHz) | 电压精度 | 封装 |
|---|---|---|---|---|---|---|---|---|---|
| 线性稳压器 | DIO7708 | 2.5-24 | 4 | ADJ：1.2-5<br>FIX：1.2-5 | 240 | 0.3 | 60 | ±2% | TSOT23-5/ SOT23-5/ DFN-6 |
| | DIO7708X | 2.5-15 | 3 | FIX:3.9~4.2 | 150 | 0.3 | 60 | ±2% | SOT89-3/ SOT23-5 |
| | DIO7709 | 2.5-24 | 4 | FIX:1.2-5 | 240 | 0.3 | 60 | ±2% | SOT89-3/SOT23-5/DFN-6/ SOT23-3 |
| | DIO7709330A | 2.5-30 | 4 | FIX:3.3 | 260 | 0.3 | 60 | ±1% | SOT23-5 |
| | DIO78XX | 2.5-30 | 30 | ADJ：5-24V<br>FIX：9-24V | 240 | 0.3 | 60 | ±2% | TO252-3/ SOT89-3/DFN-6/ SOT23-5/ SOIC-8 |

| 品类 | 型号 | 输入电压（V） | 静态电流 tlq(uA) | 输出电压（V） | 电压降（mV） | 输出电流 (max)（A） | PSRR (dB@1kHz) | 电压精度 | 封装 |
|---|---|---|---|---|---|---|---|---|---|
| 线性稳压器 | DIO7805 | 2.5-24 | 4 | FIX:5 | 240 | 0.3 | 60 | ±2% | TO252-3/ SOT89-3/ DFN-6/ SOT23-3 |
| | DIO7855 | 3-40 | 4 | ADJ：1.2-16V FIX：1.2-5V | 500 | 0.15 | 60 | ±2% | DFN-6/ EP-MSOP8/ DFN-8/ SOT-223 |
| | DIO7865 | 3-40 | 4 | ADJ：1.2-16V FIX：1.2-5V | 500 | 0.3 | 60 | ±2% | DFN-6/ EP-MSOP8/ EP-SOIC8/ SOT23-5 |
| | DIO7758 | 1.6-5.5 | 25 | FIX: 0.8 V-3.3 V | 140 | 0.3 | 75 | ±1% | DFN-6 |
| | DIO7982 | 1.8-5.5 | 0.5 | FIX:1.2-3.6 | 170 | 0.15 | 63 | ±1% | DFN-4/ SOT23-5/ DFN-4 |
| | DIO7964 | 4.5-5.5 | 137 | 1.0/1.8/3.3 | - | 0.12*3 | - | ±2% | EP-MSOP-8/ EP-SOIC-8 |
| | DIO7910 | 1.6~5.5 | 25 | FIX:0.8-3.3 | 170 | 0.3 | 75 | ±1% | DFN-4/DFN-4/DFN-6/ SOT23-5/ SC70-5 |
| | DIO7911 | 1.6~5.5 | 34 | FIX:0.75~5 ADJ:0.8~5 | 125 | 0.6 | 75 | ±1% | DFN-4/ SOT23-5/ SC70-5 |
| | DIO8018 | CH1/2:0.6~2.0 | 280（all） | CH1/2: 0.504~1.504 | CH1/2: 120 | CH1/2: 1.5 | CH1/2: 77 | ±0.5% | WLCSP1.20 |
| | | CH3-7:1.8~5.5 | 280（all） | CH3-7: 1.5~3.412 | CH3/4/6: 100 CH5/7: 135 | CH3/4/6: 0.3 CH5/7: 0.6 | CH3-7: 92 | ±0.5% | WLCSP1.20 |
| | DIO8016 | VIN1:0.6~2.0 | 90（all） | DVDD1/2: 0.6~1.8 | DVDD1/2: 110 | DVDD1/2: 1.2 | DVDD1: 62 DVDD2: 56 | ±0.5% | DFN-10 |
| | | VIN2:2.5~5.5 | 90（all） | AVDD1/2: 1.2~4.3 | AVDD1/2: 120 | AVDD1/2: 0.4 | AVDD1/2: 88 | ±0.5% | DFN-10 |
| | DIO7976 | 1.7~6.0 | 27 | FIX: 0.65~5.5 ADJ: 0.55~5.0 | 150 | 0.5 | 64 | ±1% | DFN-6/DFN-8/SOT23-5 |
| | DIO7960 | 1.65~5.5 | 18 | FIX:1~3.3 | 100 | 0.25 | 95 | ±1% | WLCSP-4,DFN1-4, |
| | DIO7961 | 1.65~5.5 | 18 | FIX:1~3.3 | 180 | 0.45 | 95 | ±1% | WLCSP-4,DFN-4,SOT23-5 |
| | DIO7966 | 1.65~5.5 | 18 | FIX:1~3.3 | 100 | 0.25 | 95 | ±1% | DFN-4 |
| | DIO7025 | 1.7~5.5 | 0.04 | FIX:1.2~3.6 | 300 | 0.2 | 55 | ±1.5% | SOT23-5/ DFN-4 |
| | DIO7937 | (VOUT + VDO) ~ 4V | 35 | FIX: 0.8~3.6 ADJ: 0.8~3.6 | 93 | 0.6 | VIN:67 VBIAS:75 | ±1% | DFN-6 |
| | DIO7939 | (VOUT + VDO) ~ 4V | 50 | FIX: 0.4~1.8 ADJ: 0.5~3.3 | WLCSP: 43 DFN: 110 | 1.5 | VIN:70 VBIAS:65 | ±1% | WLCSP-6,DFN-6 |

| 品类 | 型号 | 输入电压 (V) | 静态电流 tlq(uA) | 输出电流 (A) | 反馈电压 (V) | 开关频率 (MHz) | 导通内阻 (mΩ) | 控制模式 | 封装 |
|---|---|---|---|---|---|---|---|---|---|
| 电源模块 | DPM6101 | 2.5-5.5 | 200 | 1 | 0.6 | 2 | 60 | COT | ECLGA-14 |
| | DPM6103 | 2.5-5.5 | 200 | 3 | 0.6 | 2 | 60 | COT | ECLGA-14 |


电池充电器芯片是一种可以对多种电池进行充电和控制的芯片。主要可分为线性和开关型。我们的产品主要针对单、双节锂电池充电的应用市场。充电IC的主要参数包括充电电压，充电效率，温升，最大充电电流，是否具有软件配置功能，有无NTC，过电压保护，封装尺寸等。

| 品类 | 型号 | 输入电压 (V) | 静态电流 tlq(uA) | 输出电压 (V) | 输出电流 (A) | 反馈电压 (V) | 开关频率 (MHz) | 导通内阻 (mΩ) | 封装 |
|---|---|---|---|---|---|---|---|---|---|
| 锂离子电池线性充电IC | DIO5030 | 4.45-6.3 | 0.6 | 36 | 4.2 | 4.05 | 2.5 | Y | SOT23-6 |
| | DIO5050 | 4.45-6.3 | 0.6 | 30 | 4.2 | 4.05 | 2.5 | Y | DQFN-10 |
| | DIO5060 | 4.35-6.5 | 0.6 | 28 | 4.2~4.4 | 4.05~4.2 | 2.5 | Y/N | DFN-10 |
| | DIO5081 | 4.6-6.5 | 0.6 | 36 | 4.35 | 4.2 | 2.56 | Y | DQFN-10 |
| | DIO5090 | 4.45-6.3 | 1 | 36 | 4.2~4.25 | 4.05~4.1 | 2.5 | Y | EP-MSOP10 |
| | DIO5508 | 4.5-5.5 | 0.6~1 | 10 | 4.1~4.35 | 3.95~4.2 | 2.6~2.9 | Y/N | EP-SOIC8/EP-MSOP8/SOT23-6/DFN-6/DFN-8/DFN-10 |
| | DIO5509 | 4.5-5.5 | 0.1~0.25 | 10 | 4.2~4.4 | 4.05~4.25 | 2.5 | N | DFN-6 |
| | DIO5518 | 4.5-5.5 | 0.3~0.8 | 10 | 4.2~4.35 | 4.05~4.2 | 2.6~2.9 | Y/N | SOT23-5/DFN-6 |

| 品类 | 型号 | 输入电压 (V) | 静态电流 tlq(uA) | 输出电压 (V) | 输出电流 (A) | 反馈电压 (V) | 开关频率 (MHz) | 导通内阻 (mΩ) | 封装 |
|---|---|---|---|---|---|---|---|---|---|
| 锂离子电池线性充电IC | DIO5519 | 4.5-5.5 | 0.3 | 10 | 4.2~4.35 | 4.05~4.2 | 2.5 | Y | DFN-6 |
| | DIO5538 | 4.5-5.5 | 0.1 | 10 | 4.2~4.35 | 4.05~4.2 | 2.9 | Y/N | SOT23-5/DFN-6/DFN-8 |
| | DIO5840 | 4.45-6.3 | 1 | 36 | 4.2 | 4.05 | 2.5 | Y | DFN-10 |
| | DIO5841J | 4.45-6.25 | 1 | 36 | 4.35 | 4.2 | 2.5 | Y | DFN-10 |
| | DIO59073 | 4.35-6.4 | 1.2 | 28 | 4.2 | 4.1 | 3.35 | Y | QFN-16 |
| | DIO59074 | 4.35-6.4 | 1.2 | 28 | 4.2 | 4.1 | 3.35 | Y | QFN-16 |
| | DIO59075 | 4.35-6.4 | 1.2 | 28 | 4.2 | 4.1 | 3.35 | Y | QFN-16 |
| | DIO59078 | 4.35-6.4 | 1.2 | 28 | 4.2 | 4.1 | 3.35 | Y | QFN-16 |
| | DIO59079 | 4.35-6.4 | 1.2 | 28 | 4.1 | 4 | 3.35 | Y | QFN-16 |
| | DIO50581 | 4.7-5.5 | 0.3 | 30 | 4.2~4.4 | 4.05~4.25 | 2.5 | N | DFN-10/DFN-10 |
| | DIO54056 | 4.5-5.5 | 0.8~1 | 36 | 4.2~4.4 | 4.05~4.25 | 2.5~2.6 | Y | EP-SOIC8/DFN-8 |
| | DIO58011 | 4.5-5.5 | 0.1 | 36 | 4.2~4.35 | 4.05~4.2 | 2.5~2.6 | Y | DFN-10 |
| | DIO58013 | 4.5-5.5 | 1 | 36 | 4.2~4.35 | 4.05~4.2 | 2.5~2.6 | Y/N | DFN-10 |
| | DIO58056 | 4.5-5.5 | 1 | 36 | 4.2~4.45 | 4.05~4.3 | 2.5~2.65 | N | DFN-8/EP-SOIC8 |
| | DIO58020 | 0-5.5 | 0.3 | 32 | 4.2~4.4 | 4.05~4.25 | 2.5 | N | QFN-12 |
| | DIO58561 | 4.5-5.5 | 0.1 | 36 | 4.2~4.35 | 4.05~4.2 | 2.5~2.6 | N | DFN-8 |

| 品类 | 型号 | 工作电压 (V) | 高阻抗模式电流 (uA) | 充电电流 (Max) (A) | 电池调节电压 (V) | 充电阈值 (V) | 涓流阈值 (V) | 开关频率 (MHz) | 封装 |
|---|---|---|---|---|---|---|---|---|---|
| 开关型锂电池充电IC | DIO59015 | 4-6 | 5 | 1.5 | 4.2~4.4 | VOREG-(0.05~0.2) | 2 | 2 | TQFN-16, DFN-12 |
| | DIO59016 | 4-6 | 5 | 1.5 | 4.2~4.4 | VOREG-(0.05~0.2) | 2 | 2 | TQFN-16, DFN-12 |
| | DIO59020 | 4-6 | 12 | 2 | 4.2~4.4 | VOREG-(0.05~0.2) | 2 | 1.5 | DFN-12 |
| | DIO59110X | 4-6 | 12 | 1.5 | 4.2~4.4 | 4.1~4.3 | 2 | 2 | DFN-12 |
| | DIO59111X | 4-6 | 12 | 1.5 | 4.2~4.4 | 4.1~4.3 | 2 | 2 | DFN-12 |
| | DIO59120X | 4-6 | 12 | 2 | 4.2~4.4 | 4.1~4.3 | 2 | 1.5 | DFN-12 |
| | DIO59121X | 4-6 | 12 | 2 | 4.2~4.4 | 4.1~4.3 | 2 | 1.5 | DFN-12 |
| | DIO5908 | 4.5-5.5 | 5 | 1.5 | 4.2~4.35 | 4.05~4.2 | 2.5 | 0.5 | EP-SOIC8 |
| | DIO5918 | 4.5-5.5 | 5 | 0.5~1.5 | 4.2~4.4 | 4.05~4.25 | 2.5 | 0.5 | QFN-20 |

| 品类 | 型号 | 工作电压（V） | 高阻抗模式电流（uA） | 充电电流（Max）（A） | 电池调节电压（V） | 充电阈值（V） | 涓流阈值（V） | 开关频率（MHz） | 封装 |
|---|---|---|---|---|---|---|---|---|---|
| 开关型锂电池充电IC | DIO6833 | 3.6~5.5 | 7 | 2 | 8.4V~8.7 | VCV-(0.2~0.4) | 5.6 | 1 | QFN-16 |


# LED驱动
## LED driver

LED驱动是一种用于控制LED灯的电子设备，通过提供稳定的电流和电压，保证LED灯的稳定亮度和长寿命，同时具备调光功能、过压、过流、过热、短路、开路等保护功能，以保障LED灯和驱动器的安全运行，广泛应用于需要LED光源的各种场景。主要参数为供电电压，拓扑结构，输出电压，输出电流，开关频率，调光模式和PWM调光占空比，PFC功率因数（ACDC），总谐波失真（ACDC）等。

| 品类 | 型号 | 供电电压（V） | 拓扑结构 | 输出电压（V） | 参考电压（mV） | 开关频率（Max）（kHz） | 亮度控制 | 工作温度范围（° C） | 封装 |
|---|---|---|---|---|---|---|---|---|---|
| LED/LCD驱动 | DIO5361H | 2.8-5.5 | Boost | 42 | 200 | 850 | One Wire | -40 to 85 | DFN-6 |
| | DIO5322 | 2.7-5.5 | Boost | 40 | 300 | 1100 | PWM | -40 to 85 | SOT23-6 |
| | DIO5661 | 2.7-5.5 | Boost | 37 | 200 | 1100 | PWM | -40 to 85 | SOT23-6<br>TSOT23-6<br>DFN-6 |
| | DIO5662 | 2.7-5.5 | Boost | 37 | 300 | 1100 | PWM | -40 to 85 | SOT23-6<br>TSOT23-6<br>DFN-6 |
| | DIO5632 | 2.5-5.5 | Boost, Charge pump | - | - | 1000 (charge pump) 1800 (BOOST) | I2C | -40 to 85 | WLCSP-15 |

| 品类 | 型号 | 供电电压 (V) | 拓扑结构 | 输出电压 (V) | 参考电压 (mV) | 开关频率 (Max) (kHz) | 亮度控制 | 工作温度范围 (° C) | 封装 |
|---|---|---|---|---|---|---|---|---|---|
| LED/LCD 驱动 | DIO5361H | 2.8-5.5 | Boost | 42 | 200 | 850 | One Wire | -40 to 85 | DFN-6 |
| | DIO5638 | 2.7-5.5 | Boost, Charge pump | - | - | 1000(charge pump) 1500(BOOST) | I2C | -40 to 85 | WLCSP-15 |
| | DIO5639 | 2.7-5.5 | Boost, Charge pump | - | - | 1000(charge pump) 1500(BOOST) | I2C | -40 to 85 | WLCSP-15 |
| | DIO56380 | 2.7-5.5 | Boost, Charge pump | - | - | 1000(charge pump) 1500(BOOST) | I2C | -40 to 85 | WLCSP-15 |
| | DIO5553 | 2.9-5.5 | Boost, Charge pump, LDO | - | - | 500(BOOST) | SRL interface | -40 to 85 | WLCSP-21 |
| | DIO5558 | 2.9-5.5 | Boost, Charge pump, LDO | - | - | 500(BOOST) | SRL interface | -40 to 85 | WLCSP-21 |
| | DIO5613 | 2.9-4.5 | Boost, Invert | - | - | 1600 | One Wire | -40 to 85 | TQFN-16 |
| | DIO56132 | 2.9-4.5 | Boost, Invert | - | - | 1600 | One Wire | -40 to 85 | TQFN-16 |
| | DIO56133 | 2.9-4.5 | Boost, Invert | - | - | 1600 | One Wire | -40 to 85 | TQFN-16 |
| | DIO5718 | 4.5 -28 | Buck | - | 100 | 1000 | PWM/Analog | -40 to 85 | TSOT23-6/ DFN-6 |
| | DIO57180 | 4.75 -28 | Buck | - | 100 | 800/1000 | PWM | -40 to 85 | TSOT23-6 DFN-6 |
| | DIG57188 | 4.2 -28 | Buck | - | 100 | 1000 | PWM/Analog | -40 to 85 | TSOT23-6 DFN-6 |
| | DIO5728 | 4.75 -28 | Buck | | - | 1000 | PWM | -40 to 85 | DFN-10 |
| | DIO53701 | 4.2-28 | Buck | - | 100 | 1000 | Analog | -40 to 85 | DFN-6 |
| | DIO53702 | 4.2-5.5 | Buck | - | 100 | 1000 | Analog | -40 to 85 | DFN-6 |

| 品类 | 型号 | 供电电压 (V) | 静态电流 (Typ) (mA) | 拓扑结构 | 输出电压 (V) | 输出电流 (Max) (A) | 开关频率 (kHz) | 工作温度范围 (° C) | 封装 |
|---|---|---|---|---|---|---|---|---|---|
| 闪光灯驱动 | DIO5180 | 3.0~5.0 | 0.35 | Boost | 5 | 0.75*2 | 2000 | -40 to 85 | DNF-14L |
| | DIO5644 | 2.7 ~5.5 | 0.3 | Boost | 5.4 | 1.5*2 | 4000 | -40 to 85 | WLCSP-12 |
| | DIO5151 | 3.0 ~5.5 | 0.3 | Buck, Boost Charge Pump | 5.5 | 1 | 2000 | -40 to 85 | DNF-10/ DFN-8 |
| | DIO56401 | 2.7~5.5 | 0.3 | Boost | 5 | 1.5 | 2000/4000 | -40 to 85 | QNF-10 |
| | DIO5183 | 3.0~5.0 | 0.35 | Boost | 5.3 | 0.75*2 | 2000 | -40 to 85 | DFN-14 |

| 品类 | 型号 | 供电电压 (V) | 总谐波失真 | 功率因数 (>) | 快速启动 (ms) | IVIN_OVP (mA) | 是否内置 MOS | 是否为 NTC | 封装 |
|---|---|---|---|---|---|---|---|---|---|
| 反激式恒流型LED驱动 | DIO8604S | 9.5-27 | <5% | 0.95 | <500 | 2 | Y | N | SOIC-8 |
| | DIO8650D | 9.5-27 | <10% | 0.95 | <500 | 1.75 | N | N | SOT23-6/ SOIC-8 |
| | DIO8650E | 9.5-27 | <5% | 0.95 | <500 | 2 | N | N | SOT23-6/ SOIC-8 |
| | DIO8652 | 9.5-27 | <10% | 0.95 | <500 | 2 | N | Y | SOIC-8 |

| 品类 | 型号 | 供电电压 (V) | 功率因数 (>) | 启动电流 (uA) | IVIN_ OVP(mA) | VREF(V) | 是否内置 MOS | 是否为 NTC | 封装 |
|---|---|---|---|---|---|---|---|---|---|
| 降压型恒流LED驱动 | DIO8804 | 9.5-15.4 | 0.9 | 15 | 2 | | Y | N | SOIC-8 |
| | DIO88164/A | 30-500 | 0.9 | - | c | 0.2 | Y | N | SOIC-7 DIP-7 |
| | DIO8850 | 9.5-27 | 0.9 | 15 | 2 | 0.3 | N | N | SOT23-6/ SOIC-8 |
| | DIO8850B | 9.5-15.4 | 0.9 | 15 | 2 | 0.3 | N | N | SOT23-6/ SOIC-8 |
| | DIO8852 | 9.5-27 | 0.9 | 15 | 2 | 0.3 | N | Y | SOIC-8 |
| | DIO8810 | 30-500 | 0.9 | - | - | 0.2 | Y | N | SOT23-5 |

| 品类 | 型号 | 供电电压 (V) | 输出电流 (A) | 导通电阻 (mΩ) | 调光模式 | 调光步进 | 是否内置 MOS | 是否为 NTC | 封装 |
|---|---|---|---|---|---|---|---|---|---|
| 降压恒流型LED驱动 | DIO8280 | 16-85 | 2 | 200 | PWM/ Analog | 0.50% | Y | N | EP-SOIC8 |
| | DIO8280A | 16-85 | 2 | 200 | PWM/ Analog | 0.50% | Y | N | EP-SOIC8 |
| | DIO8280L | 10-85 | 1 | 200 | PWM/ Analog | 0.50% | Y | N | EP-SOIC8 |

| 品类 | 型号 | 供电电压 (V) | IVIN_ OVP(mA) | 功率因数 (>) | 总谐波失真 | VREF(V) | 是否内置 MOS | 是否为 NTC | 封装 |
|---|---|---|---|---|---|---|---|---|---|
| 升压型恒流LED驱动 | DIO8904B | 10-13.6 | 5 | 0.95 | <10% | 0.153 | Y | N | SOIC-8 |
| | DIO8950 | 10-13.6 | 5 | 0.95 | <10% | 0.153 | N | N | SOIC-8 |

| 品类 | 型号 | 供电电压(V) | 总谐波失真 | 功率因数(>) | 启动电流(uA) | 快速启动(ms) | IVIN_OVP(mA) | 是否内置MOS | 是否为NTC | 封装 |
|---|---|---|---|---|---|---|---|---|---|---|
| 反激式恒压型LED驱动 | DIO8105 | 9.5-27 | <10% | 0.9 | 10 | <500 | 2.5 | N | N | SOT23-6/SOIC-8 |
| | DIO81064 | | <10% | 0.9 | 10 | <500 | 2.5 | N | N | SOIC-8 |
| | DIO81052 | 9.5-27 | <10% | 0.9 | 10 | <500 | 2.5 | Y | N | SOIC-8 |
| | DIO81054 | 9.5-27 | <10% | 0.9 | 10 | <500 | 2.5 | Y | N | SOIC-8 |

| 品类 | 型号 | 供电电压(V) | 启动电流(uA) | 输入电流(max)(mA) | LEDN 比较电压VREF(V) | 击穿电压(V) | 导通内阻(Ω) | 内置 MOS | 封装 |
|---|---|---|---|---|---|---|---|---|---|
| 纹波抑制驱动器 | DIO8242D | <100 | 1 | 60 | 21 | 100 | 16 | 100V | SOT23-3/SOT89-3 |
| | DIO8242E | <100 | 1 | 60 | 9 | 100 | 16 | 100V | SOT23-3/SOT89-3 |
| | DIO8242F2 | <100 | 1 | 120 | 6 | 100 | 8 | 100V | SOT23-3/SOT89-3 |
| | DIO8242F3 | <100 | 1 | 180 | 6 | 100 | 5 | 100V | EP-SOIC8 |
| | DIO8242F4 | <100 | 1 | 240 | 6 | 100 | 5 | 100V | EP-SOIC8 |
| | DIO8242FZ | <100 | 1 | 120 | 6 | 100 | 8 | 100V | SOT89-3 |
| | DIO8242G | <100 | 1 | 60 | 27 | 100 | 16 | 100V | SOT23-3/SOT89-3/SOT223 |
| | DIO8242H | <100 | 1 | 60 | 24 | 100 | 16 | 100V | SOT23-3/SOT89-3 |
| | DIO8242Z | <100 | 1 | 60 | 6 | 100 | 16 | 100V | SOT23-3/SOT89-3 |
| | DIO8243 | <120 | 20 | 300 | 6 | 60 | - | 60V | EP-SOIC8 |

| 品类 | 型号 | 供电电压(V) | 启动电流(uA) | 输入电流(max)(mA) | LEDN 比较电压 VREF(V) | 击穿电压(V) | 导通内阻(Ω) | 内置 MOS | 封装 |
|---|---|---|---|---|---|---|---|---|---|
| 纹波抑制驱动器 | DIO8244 | <400 | 1 | 60 | 6 | 500 | 40 | 500V | SOT23-3/ SOT23-5/ SOT89-3 |
| | DIO8244F | <500 | 1 | 60 | 6 | 500 | 40 | 500V | SOT23-3/ SOT23-5/ SOT89-3 |
| | DIO8244H | <400 | 1 | 60 | 12 | 500 | 40 | 500V | SOT23-3/ SOT23-5 |
| | DIO8244J | <500 | 1 | 60 | 12 | 500 | 40 | 500V | SOT23-3/ SOT23-5 |
| | DZ085 | <100 | 1 | 120 | 6 | 100 | 8 | 100V | SOT89-3 |

| 品类 | 型号 | 供电电压(V) | 工作电流(uA) | 输入电流(max)(mA) | LED 电压限制阈值(V) | 关闭电压阈值(V) | FRIPPLE (Hz) | 内置 MOS | 封装 |
|---|---|---|---|---|---|---|---|---|---|
| 纹波抑制驱动器 | DIO8210C | 10-75 | 0.25 | 350 | 6 | 9 | 100/120 | Y(85V) | EP-SOIC8 |
| | DIO8210E | 10-30 | 0.25 | 350 | 6 | 9 | 100/120 | Y(85V) | EP-SOIC8 |
| | DIO8210H | 10-30 | 0.25 | 350 | 6 | 9 | 100/120 | Y(85V) | EP-SOIC8 |
| | DIO8232 | 10-55 | 0.25 | 1000 | 6 | 6 | 100/120 | Y(60V) | TO252-5 |
| | DIO8215B | Clamp: 37 | 0.24 | 500 | 4 | 11 | 100/120 | Y(150V) | EP-SOIC8 |
| | DIO8221 | Clamp: 37 | 0.24 | - | - | - | 100/120 | N | SOT23-6 |
| | DIO8221B | Clamp: 37 | 0.24 | - | - | - | 100/120 | N | SOT23-6 |

| 品类 | 型号 | 供电电压(V) | 电流纹波 | 功率因数(>) | VREF(V) | 是否内置 MOS | 是否为 NTC | 封装 |
|---|---|---|---|---|---|---|---|---|
| 线性恒流型LED驱动 | DIO8450 | 30-500 | - | 0.8 | 0.27 | Y | N | EP-SOIC8 |
| | DIO84512 | 30-500 | <±1% | 0.8 | 0.27 | Y | N | EP-SOIC8 |

| 品类 | 型号 | 最大输入电压 (V) | 静态电流 (uA) | 开关频率 (KHz) | 调光模式 | VS 参考电压 | 封装 |
|---|---|---|---|---|---|---|---|
| 高性能、三合一、调光接口转换器 | DIO8269 | 60V | 100 | 0.4~10 | PWM/Analog | 1.5V | SOIC-8 |


负载开关可以有效地控制和保护电路故障,在特定条件下,如过流,过压等。负载开关的产品种类如过压保护开关,过流保护开关,通用开关等负载开关的主要参数如等效阻抗,反应时间,容限电压/电流,封装尺寸等。

| 品类 | 型号 | 输入电压 (V) | 静态电流 tIq(uA) | 输出电流(A) | 使能引脚 | MOS 导通电阻 (mΩ) | 特性 | 工作电压范围 (°C ) | 封装 |
|---|---|---|---|---|---|---|---|---|---|
| 负载开关 | DIO1281 | 2.5-25 | 58 | 3 | L | 20 | OVP/OTP/PG | -40 to 85 | WLCSP-12 |
| | DIO1286 | 2.5-20 | 80 | 3 | L | #REF! | OVP/OTP/PG | -40 to 85 | WLCSP-12 |
| | DIO7002 | 2.7-5.5 | 60 | 1 | H/L | 70 | OCP/OTP/RCB | -40 to 85 | SOT23-5 |
| | DIO70020 | 2.7-5.5 | 36 | 0.206~2.5 | H/L | 57 | OCP/OTP/RCB | -40 to 85 | SOT23-5 |
| | DIO7004 | 2.7-5.5 | 50 | 0.35~2 | H/L | 75 | OCP/OTP/RCB/PG | -40 to 85 | SOT23-5/SOIC-8/EP-MSOP08/MSOP-8 |
| | DIO70040 | 2.7-5.5 | 36 | 0.5~3 | H/L | 57 | OCP/OTP/RCB/QOD | -40 to 85 | SOT23-5/SOIC-8/EP-MSOP08/MSOP-8 |

| 品类 | 型号 | 输入电压 (V) | 静态电流 tlq(uA) | 输出电流(A) | 使能引脚 | MOS 导通电阻 (mΩ) | 特性 | 工作电压范围 (°C) | 封装 |
|---|---|---|---|---|---|---|---|---|---|
| 负载开关 | DIO7005 | 2.7-5.5 | 50 | 0.35~2 | H/L | 75 | OCP/OTP/RCB | -40 to 85 | SOT23-5 |
| | DIO7164 | 2.7-5.5 | 50 | 0.35~1.5 | H/L | 75 | OCP/OTP/RCB/PG | -40 to 85 | SOT23-5 |
| | DIO7195B | 1.8-5.5 | 75 | 2.5 | | 55 | OVP/OCP/OTP/RCB/PG | -40 to 85 | WLCSP-6 |
| | DIO7300 | 1.8-5.5 | 100 | 2 | H | 60 | RCB | -40 to 85 | SOT23-5 |
| | DIO7301 | 1.8-5.5 | 100 | 2 | H | 48 | RCB/QOD | -40 to 85 | SOT23-5 |
| | DIO7305 | 3-5 | 128 | 1.5 | H | 110 | OVP/OCP/OTP/PG | -40 to 85 | DFN-8 |
| | DIO72520 | 3-5.5 | 150 | 0.3~1.5 | H | 110 | OVP/OCP/OTP/PG | -40 to 85 | DFN-8 |
| | DIO7495 | 2.5-5.5 | 65 | 0.05~2 | H | 70 | OVP/OCP/OTP/PG | -40 to 85 | QFN-9 |
| | DIO7974 | 1-5.5 | 7.5 | 3 | H | 8 | QOD/RCB | -40 to 85 | WLCSP-6 |
| | DIO7330 | 1.8-5.5 | 100 | 2.4 | H | 40 | RCB/QOD | -40 to 85 | DFN-4 |
| | DIO7527 | 2.7-5.5 | 70 | 1 | H/L | 70 | OCP/OTP/RCB/PG | -40 to 85 | SOT23-5/SOIC-8/EPMSOP08/MSOP-8 |
| | DIO7552 | 2.7-5.5 | 70 | 2.5 | L | 70 | OTP/RCB/PG/QOD | -40 to 85 | SOT23-6/DFN-6 |
| | DIO7553 | 2.7-5.5 | 70 | 2.5 | H | 70 | OTP/RCB/PG/QOD | -40 to 85 | SOT23-6/DFN-6 |
| | DIO75530 | 2.7-5.5 | 36 | 0.2~2.59 | H/L | 55 | OTP/RCB/PG/QOD | -40 to 85 | SOT23-6/DFN-6 |
| | DIO7231 | 2.7-5.5 | 50 | 0.275 | N/A | 136 | OCP/OTP/RCB/QOD | -40 to 85 | SOT23 |
| | DIO7063 | 2.7-5.5 | 50 | 0.9 | H/L | 75 | OCP/OTP/RCB/PG | -40 to 85 | SOT23-5/MSOP-8 |
| | DIO7963 | 4.5-5.5 | | 0.385 | H | 400 | OCP/OTP/RCB | -40 to 85 | EP-SOIC-8 |
| | DIO7929 | 1.8-5.5 | 100 | 2 | H | 60 | RCB/QOD | -40 to 85 | SOT23-6 |
| | DIO7290 | 1.2-5.5 | 0.031 | 1.5 | H | 48 | QOD | -40 to 85 | WLCSP-4 |
| | DIO7291 | 1.2-5.5 | 0.014 | 1.5 | H | 46 | N/A | -40 to 85 | WLCSP-4 |
| | DIO7296 | 1.0-5.5 | 0.03 | 0.5 | H | 45 | QOD | -40 to 85 | WLCSP-4 |
| | DIO7297 | 1.2-5.5 | 0.03 | 0.5 | H | 47 | QOD | -40 to 85 | WLCSP-4 |

| 品类 | 型号 | 输入电压 (V) | 静态电流 tlq(uA) | 输出电流(A) | 使能引脚 | MOS 导通电阻 (mΩ) | 特性 | 工作电压范围 (°C) | 封装 |
|---|---|---|---|---|---|---|---|---|---|
| 负载开关 | DIO7298 | 1.0-3.6 | 0.04 | 2 | H | 40 | QOD | -40 to 85 | WLCSP-4 |
| | DIO7299 | 1.2-5.5 | 0.031 | 2 | H | 36 | QOD | -40 to 85 | WLCSP-4 |
| | DIO7320 | 1.8-5.5 | 100 | 3 | H | 28 | RCB/QOD | -40 to 85 | EP-SOIC-8 |
| | DIO7970 | 0.65-3.6V | 18 | 4 | H | 4.7 | OTP/QOD | -40 to 105 | WLCSP-8 |
| | DIO7971 | 0.65-3.6V | 18 | 3 | H | 6.7 | OTP/QOD/PG/CT | -40 to 105 | WLCSP-8 |
| | DIO7610 | 0.8-5.5 | 28 | 6 | H/L | 13 | OTP/QOD | -40 to 85 | DFN-8 |


高边开关是一种用于控制高电压负载的电子开关，将负载与电源相隔离。开关不与地相连，而是置于负载与电源之间，从而可以控制高电压负载的通断。主要参数为工作电压，通道数，导通内阻，输出电流及电流限制等。

| 品类 | 型号 | 工作电压 (V) | 通道数 | 导通内阻 (typ)(mΩ) | 输出电流 max (A) | 电流限制（A） | 工作电压范围 (°C) | 封装 |
|---|---|---|---|---|---|---|---|---|
| 高边开关 | DIO74H120 | 3.4 - 40 | 4 | 120mΩ | 2.5 | ADJ, 0.25~7 | -40 to 125 | EP-TSSOP28 |

# 马达驱动
## Motor driver

马达驱动是一种控制电机的转速、转矩和方向，从而提高电机的运行效率、降低能耗、减少噪音和振动的驱动器。电机驱动器通过接收外部控制信号，对电机的运行状态进行精确控制，确保电机在不同工作条件下实现最佳性能。主要市场为汽车，扫地机，无人机，家电产品等领域。主要的参数为驱动类型，工作电压，输出电流，集成MOS管的导通内阻等。

| 品类 | 型号 | 供电电压 (V) | 全桥个数 | 峰值输出电流 (A) | 睡眠模式电流 (uA) | 控制模式 | 上下管导通电阻 (HS/LS) (mOhms) | 工作温度 (° C) | 封装 |
|---|---|---|---|---|---|---|---|---|---|
| 马达驱动 | DIO5833 | 2.7-15 | 2 | 1 | 1.6 | PWM | 600/400 | -40 to 85 | EP-TSSOP16/ QFN-16 |
| | DIO57100 | 4-40 | 2 | 12 | 1.5 | PWM | 60/40 | -40 to 125 | EP-SOP16/ SOP16 |

| 品类 | 型号 | 供电电压 (V) | 最大输入电压 (V) | 最大输出电流 (A) | 拓扑结构 | 上升时间 Typ. (ns) | 下降时间 Typ. (ns) | 死区时间 Max. (ns) | 封装 |
|---|---|---|---|---|---|---|---|---|---|
| MOSFET 驱动 | DIO5110 | 5.5-13.2 | 58 | 3 | Half-Bridge | 20 | 20 | 40 | SOIC-8/ DNF-8/ DNF-8 |
| | DIO5105 | 3-15 | 40 | 3 | Half-Bridge | 20 | 15 | Set by resistor | MSOP-10 |
| | DIO5100 | 5.5-13.2 | 35 | 3 | Half-Bridge | 20 | 20 | Set by resistor | DNF-10/ MSOP-10 |

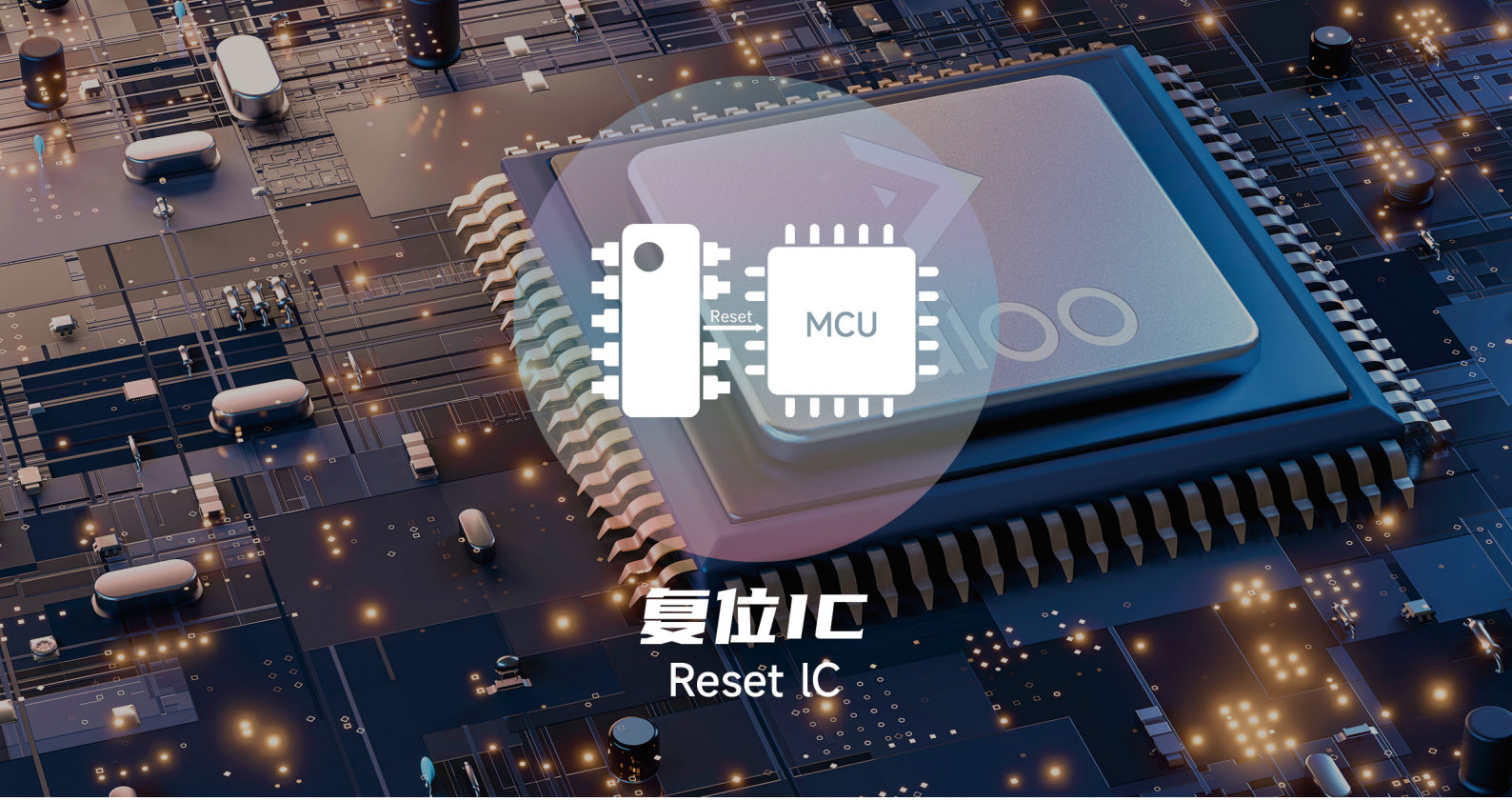


# 复位IC
## Reset IC

复位IC是一种确保电路在启动或异常情况下能够回到初始状态，从而保证系统的稳定运行的电子元器件。通常复位IC主要是监测电源电压，并在电源电压异常或下降到某个阈值时向系统发出复位信号。广泛应用在手机，电脑，电子烟等各类电子产品中。主要参数为供电电压，重置电压阈值，输出驱动模式，充值脉冲时间等。

| 品类 | 型号 | 供电电压 (V) | 静态电流 (Typ)(uA) | 重置电压阈值 VRES(V) | VCC to RST 延迟时间 (us) | 输出驱动类型 / 输出类型 | 重置脉冲时间 TRES (ms) | 封装 |
|---|---|---|---|---|---|---|---|---|
| 复位IC | DIO706 | 1.15-5.5 | 52 | 2.63~4.4 | 23 | Active low/ push-pull | 200 | SOIC-8 |
| | DIO6803 | 1.0-5.5 | 8 | 2.63~2.93 | 23 | OD | 240 | SOT23/SOT23-3 |
| | DIO6805 | 1.0-5.5 | 8 | 2.32~4.63 | 23 | Active low/ push-pull | 25 | SOT23 |
| | DIO6811 | 1.0-5.5 | 8 | 2.32~4.63 | 23 | Active low/ push-pull | 240 | SOT143-4/ SOT23-5 |
| | DIO6812 | 1.0-5.5 | 8 | 2.32~4.63 | 23 | Active high/ push-pull | 240 | SOT143-4/ SOT23-5 |
| | DIO6813 | 1.0-5.5 | 8 | 2.32~4.64 | 23 | OD | 240 | SOT143-4/ SOT23-5 |
| | DIO6818 | 1.0-5.5 | 8 | 2.63~3.08 | 23 | Active high/ OD | 240 | SOT143-4/ SOT23-3/ SOT23-3L |
| | DIO8030 | 1.0-5.5 | 3 | - | 23 | Active low/ push-pull | 8~12ms | SOT23/ SOT23-3 |
| | DIO682x | 1.5-6.6 | 10 | VIH: 0.85~0.7VCC VIL: 0~0.3VCC | 150 | OD | 80~400 | DFN-6/ DFN-4 |

| 品类 | 型号 | 供电电压 (V) | 静态电流 (Typ)(uA) | RTH 电压阈值 VRTH(V) | FTH 电压阈值 VFTH（V） | 重置电压精度 (%) | 输出驱动类型 / 输出类型 | 工作温度范围 (°C) | 封装 |
|---|---|---|---|---|---|---|---|---|---|
| 电压检测IC | DIO302 | 1.9-6 | 8.8 | 1.211 | 1.211 | ±2% | Active low and high/ push-pull | -40 to 85 | SOT23-6 |
| | DIO302A | 1.9-6 | 8.8 | 1.211 | 1.211 | ±1% | Active low and high/ push-pull | -40 to 85 | SOT23-6 |

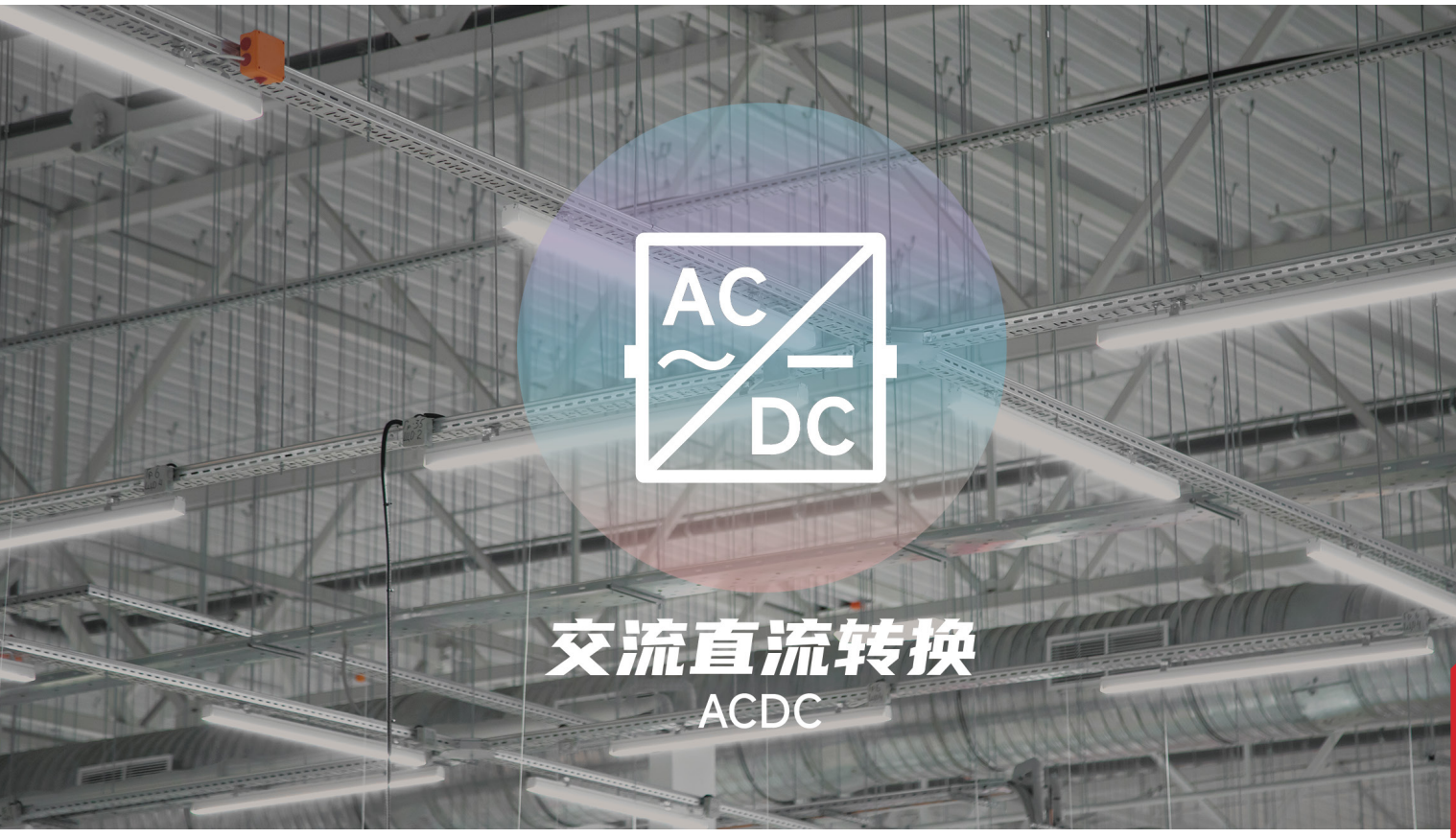


# 交流直流转换
## ACDC

ACDC是一种用于控制交流电转化为直流电的集成电路。它在电源管理和电力转换过程中起到关键作用，被广泛应用于各种电子设备和系统中。主要目标市场为照明。主要参数为拓扑结构，供电电压，开关频率，欠压保护阈值，封装大小等。

| 品类 | 型号 | 拓扑结构 | 供电电压 (V) | 开关频率 (Max) (kHz) | 欠压保护开 / 关阈值 (V) | 工作电压范围 | 封装 |
|---|---|---|---|---|---|---|---|
| 高频同步整流器控制器 | DIO82611 | Active Clamp Flyback, QR, DCM, CCM Flyback, LLC | 4.0-28 | 1000 | 4.5/4 | -40 to 85 | TSOT23-6 |
| | DIO82612 | Active Clamp Flyback, QR, DCM, CCM Flyback, LLC | 4.0-28 | 800 | 4.5/4 | -40 to 85 | TSOT23-6 |
| | DIO82615 | Active Clamp Flyback, QR, DCM, CCM Flyback, LLC | 4.0-28 | 800 | 4.5/4 | -40 to 85 | SOIC8 EP-SOIC8 |
| | DIO82616 | Active Clamp Flyback, QR, DCM, CCM Flyback, LLC | 4.0-28 | 800 | 4.5/4 | -40 to 85 | SOIC8 EP-SOIC8 |

| 品类 | 型号 | 供电电压（V） | 工作模式 | 开关频率 | 待机功耗 | 输入电压 | 驱动电压 / 方式 | 封装 |
|---|---|---|---|---|---|---|---|---|
| GaN驱动器 | DIO8352 | External | QR | ADJ <100KHz | <50mW | Single Vin power supply 34V | 12V | SSOP-10 |
| | DIO8355 | External | QR | 500KHz | <50mW | Single Vin power supply 34V | 6V/Direct drive GaN | SSOP-10 |
| | DIO8355A | External | QR | 350KHz | <50mW | Double Vin power supply High voltage Vin | 6V/Direct drive GaN | SSOP-10 |

# 锂电池保护IC
## Battery Protector

锂电池保护IC是一种监测和控制电池的充放电过程，确保电池安全性和稳定性的芯片。通过监控电池的电压和电流等关键参数，防止电池出现过充、过放、过流和短路等异常情况，从而保护电池不受损害。锂电池保护IC广泛应用于使用锂电池作为电源的应用场景如手机，笔记本电脑，电动牙刷，新能源汽车等。主要参数是电池电压，欠电压阈值，电压过充阈值，电流过充阈值及封装等。

| 品类 | 型号 | 电池电压（V） | 工作电流 IOP（uA） | 电池欠压阈值 VUV(V) | 电池过冲阈值 VOV(V) | 导通电阻 RP(mΩ) | 过充电流 Ioc(A) | 是否有直通 | 封装 |
|---|---|---|---|---|---|---|---|---|---|
| 锂电池保护IC | DIO7110 | 0~5.5 | 1.3 | 2.4~3 | 4.2~4.55 | 56 | 0.66~1.33 | Y | DFN-6 |
| | DIO7111 | 0~5.5 | 1.3 | 2.4~3 | 4.2~4.55 | 56 | 0.66~1.33 | N | DFN-6 |

# 联系我们 Contact us


上海(浦西) Shanghai Puxi
+86-021-62116882
上海市闵行区号景路206弄
万象企业中心TC东栋帝奥微大厦

上海(浦东) Shanghai Pudong
+86-21-62116882-8401
上海市浦东新区张江路展想中心806室

南通 Nantong
+86-0513-85210088
江苏省南通市崇州大道60号南通
创新区紫琅科技城1号楼12层

深圳 Shenzhen
+86-0755-86717183
深圳市南山区新南三道光启未来
中心A栋1201室

北京 Beijing
+86-010-84763511
北京市朝阳区来广营西路5号院
诚盈中心3号楼602室

台北 Taipei
+886-2-8792-0500
台湾省新北市新店北新路一段8629楼-7

杭州 Hangzhou
+86-0571-85126670
浙江省杭州市西湖区五常港路466号
华策中心A栋510-512室

苏州 Suzhou
+86-0512-69338986
江苏省苏州市工业园区尼盛广场803室

首尔 Seoul
Jinsu.Nam@dioo.com
1104，ISBiz tower B，1432，
Anyang-dong，Manan-gu，Anyang-si，
Gyeonggi-do，Korea


ISO 9001 质量安全管理体系认证

ISO 27001 信息安全管理体系认证

ISO 14001 环境管理体系认证

ISO 45001 职业健康安全管理体系认证

ISO 26262 功能安全管理体系认证

GB/T29490 企业知识产权合规管理体系认证

IEC IECEE
IEC 国际电工委员会
电工产品安全认证体系认证

TÜVRheinland CERTIFIED
德国莱茵TÜV认证

UL
UL认证

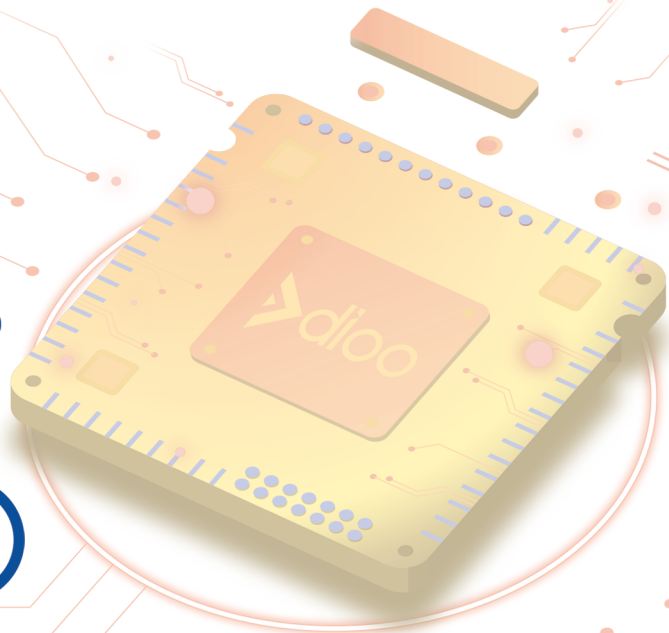

微信公众号
WeChat Official Account

小程序商城
Applet Mall

帝奥微官网
dioo Official Website

www.dioo.com